

کانه‌زایی طلای اپی‌ترمال با سنگ میزبان کربناتی کاوند، جنوب‌غرب زنجان

نادیا پرتاک^۱ و مسعود علی‌پوراصل^(۲)*

- دانشآموخته کارشناسی ارشد، گروه پترولولژی و زمین‌شناسی اقتصادی، دانشکده علوم زمین، دانشگاه صنعتی شاهroud
- استادیار، گروه پترولولژی و زمین‌شناسی اقتصادی، دانشکده علوم زمین، دانشگاه صنعتی شاهroud

تاریخ دریافت: ۹۷/۰۸/۰۶

تاریخ پذیرش: ۹۷/۱۲/۰۷

چکیده

حدوده کاوند در جنوب‌غرب زنجان و در بخش سلطانیه از پهنه ایران مرکزی قرار دارد. توالی‌های سنگی پرکامبرین‌پسین-کامبرین‌پیشین سنگ میزبان کانه‌زایی هستند، در این میان بخش عمده کانه‌زایی با سنگ‌های دولومیتی سازند سلطانیه همراه است. کانه‌زایی به شکل‌های انبوهای، رگه‌رگچهای و پرشدگی فضاهای خالی کارستی مشاهده می‌شود. دگرسانی‌های اکسید آهنی، کربناتی و سیلیسی در منطقه غالب است. هماتیت، اسپکیولاریت، طلا، کالکوپیریت، پیریت، کالکوست، مالاکیت، آزوریت، گوتیت و لیمونیت کانه‌های معدنی، در حالی که کوارتز، باریت، کلسیت و دولومیت کانه‌های باطله کانه‌زایی را تشکیل می‌دهند. آهن و طلا عناصر مهم کانسارساز در این منطقه هستند. مقدار متوسط آهن و طلا در کانه‌زایی کاوند به ترتیب $15/7$ درصد (بیشینه $28/4$ درصد) و $1/3$ گرم در تن (بیشینه $14/6$ گرم در تن) است. داده‌های زمین‌شیمیایی همبستگی مثبت بالایی را میان طلا با نقره، آرسنیک، آنتیموان، مس، روی، کادمیم، و باریم نشان می‌دهد. مطالعات میانبارهای سیال بر روی کوارتز از نمونه‌هایی با همیافتدی کانی‌شناسی کوارتز+سولفید+طلا و اکسیدهای آهن+باریت+کوارتز+طلا متوسط درجه حرارت $277/84$ درجه سانتی‌گراد و شوری $3/67$ درصد وزنی معادل نمک طعام را ثابت می‌کند. کانه‌زایی به احتمال در فشار کمتر از 200 اتمسفر و عمق بیش از 700 متری تشکیل شده است. تجزیه میکروپریوبی چند عنصری دانه‌های طلا از رسوبات بستر آبراهه‌ای نشان می‌دهد که در ترکیب طلای کاوند مقادیر طلا و نقره غالب است. مقایسه ترکیب شیمیایی ذرات طلای کاوند با آهله‌ای از انواع مختلف کانسارهای طلا، منشا اپی‌ترمالی آنها را ثابت می‌کند. کانه‌زایی کاوند را می‌توان یک کانسار طلای اپی‌ترمال با سنگ میزبان کربناتی در نظر گرفت.

واژه‌های کلیدی: طلا، سنگ میزبان کربناتی، اپی‌ترمال، کاوند، زنجان.

مقدمه

جای دارد (شکل‌های ۱ و ۲). منطقه کاوند در محور زنجان-تکاب قرار دارد. در این محور معادن فعال طلا (معدن زرشوران، آق دره و توزلار)، روی-سرپ (انگوران) و آهن (معدن حسین‌آباد و شاه بولاغی) وجود دارد که همگی با سیستم‌های گرمایی سنوزئیک مرتبط هستند

کانه‌زایی کاوند در فاصله 35 کیلومتری جنوب غرب شهرستان زنجان و در طول‌های جغرافیایی $۴۸^{\circ} ۰۳'$ تا $۴۸^{\circ} ۱۲'$ شرقی و عرض‌های $۳۷^{\circ} ۳۶^{\circ}$ تا $۴۰^{\circ} ۳۶^{\circ}$ شمالی

* نویسنده مرتبط: masoodalipour@shahroodut.ac.ir

زنجان (ناحیه سلطانیه) وجود دارد، که کانه‌زایی‌های آهن ارجین، باش‌کند، اینچه‌ی رهبری، علم‌کندی، و شابابlag از آن جمله هستند، که سنگ‌های کربناتی، مرمرها و توفهای ریولیتی میزبان آنها است. در طول زمان‌های سنوزوئیک سنگ‌های نفوذی با ترکیب مونزوودیوریت به داخل سنگ‌های کربناتی پرکامبرین-کامبرین سازند سلطانیه تزریق شده، و سبب کانه‌زایی در سنگ‌های دولومیتی میزبان شده‌اند. مگنتیت، اسپیکولاریت، پیریت، کالکوپیریت، گارنت، پیروکسن، فلوگوپیت، اپیدوت، ترمولیت، اکتینولیت، سریانتین و تالک از کانه و کانی‌های اصلی آنها هستند. این نوع کانه‌زایی به صورت بافت‌های توده‌ای، رگه-رگچه‌ای، نواری، پرشدگی فضاهای خالی، دندربیتی، انتشاری، و برشی مشاهده می‌گردد (Nabatian et al., 2015).

چهارگوش ۱/۲۵۰۰۰ زنجان نخستین ورقه زمین‌شناسی بود که در فاصله سال‌های ۱۳۵۵ تا ۱۳۵۷ تحت پوشش اکتشافات زمین‌شیمیایی سیستماتیک قرار گرفت، ولی نمونه‌های رسوب آبراهه‌ای تنها برای تعداد محدودی از عناصر مانند مس، سرب، روی، باریم و آهن تجزیه گردید (سازمان زمین‌شناسی و اکتشافات معدنی کشور، ۱۳۵۷). در طرح بازنگری نقشه‌های ۱/۱۰۰۰۰ زمین‌شیمیایی، ورقه زنجان با برداشت نمونه‌های سیلت آبراهه‌ای و کانی سنگین مورد بررسی دوباره قرار گرفت، و ناهنجاری طلا برای نخستین بار در محدوده کاوند گزارش گردید. برپایه داده‌های زمین‌شیمی سیلت آبراهه‌ای تعداد ۵ نمونه دارای عیار طلای بیش از ۲۰ میلی‌گرم در تن (مقدار بیشینه ۳۱۳ میلی‌گرم در تن) و ۷ نمونه کانی سنگین محتوی ذرات طلای آزاد (از ۲ تا ۸ ذره) بوده است (سازمان صنعت، معدن و تجارت استان زنجان، ۱۳۸۷). در بی‌جویی به روش اکتشافات زمین‌شیمیایی-کانی سنگین در مقیاس ۱/۲۵۰۰۰ در محدوده کاوند، تعداد ۲۰ نمونه سیلت آبراهه‌ای (۴ درصد کل نمونه‌ها) دارای مقدار طلای بیش از ۵۰۰ میلی‌گرم در تن و ۱۶ نمونه کانی سنگین (۱۱ درصد کل نمونه‌ها) محتوی ذرات طلای آزاد (از ۱ تا بیش از ۱۵۰ ذره) بوده است (سازمان صنعت، معدن و تجارت استان زنجان، ۱۳۸۷).

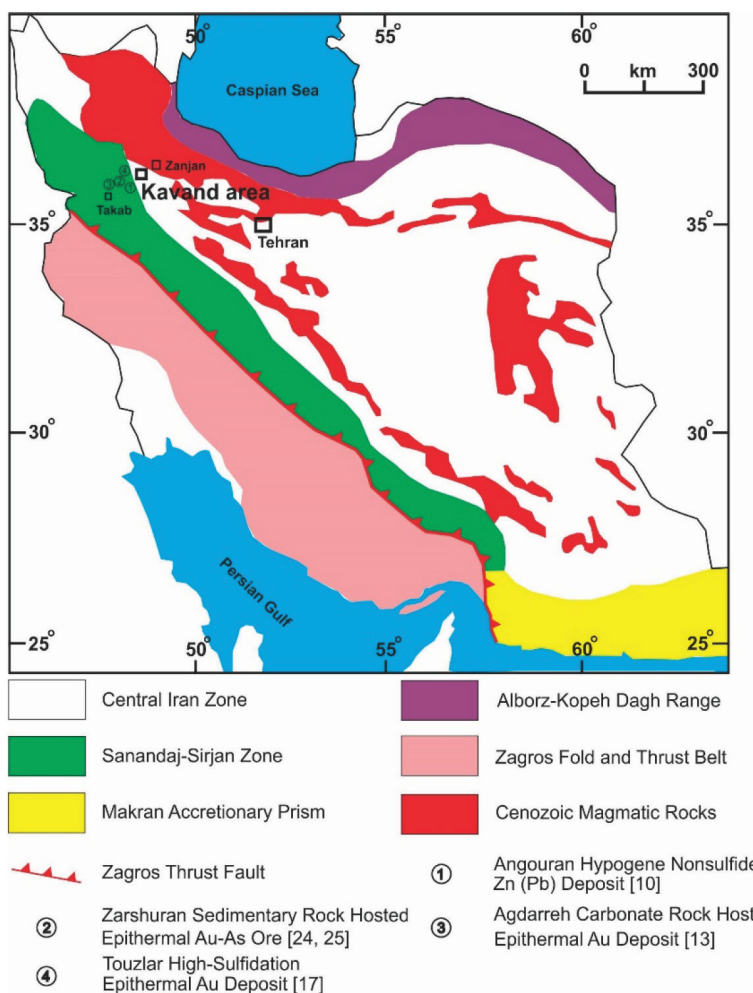
در این مقاله، شواهد زمین‌شناسی، کانی‌شناسی، Mehrabi et al., 2003; Boni et al., 2007; Daliran, 2008; Heidari et al., 2015) کانسارهای طلای رشـوران، آق دره و توزلار به ترتیب به‌وسیله سنگ‌های کربناتی پرکامبرین پسین-کامبرین پیشین، سنگ‌های کربناتی میوسن و سنگ‌های آذرآواری و گدازه‌ای با ترکیب آندزیت تراکمیت میوسن زیرین میزبانی می‌شوند (Mehrabi et al., 2003; Daliran, 2008; Heidari et al., 2015).

اگرچه این کانسارها دارای سنگ میزبان متفاوتی هستند ولی فرایند تشکیل آنها همسان است. کانسارهای طلای رشـوران و آق دره با کانسارهای کارلین مقایسه شده است (Mehrabi et al., 1999; Karimi, 1993; Asadi, 2000; Daliran et al., 2002)، و شاید به عنوان کانسارهای طلای پراکنده در سنگ میزبان رسوبی نیز در نظر گرفته شوند (Hofstra, 2002). کانسار طلای توزلار به عنوان کانه‌زایی طلای اپی‌ترمال با درجه سولفیداسیون بالا معرفی شده است (Heidari et al., 2015). منطقه کاوند از گذشته به لحاظ کانه‌زایی آهن مطرح بوده است، به طوری که در نقشه‌های زمین‌شناسی ۱/۲۵۰۰۰ و ۱/۱۰۰۰۰ زنجان آثار معدنی آهن وجود دارد (باباخانی و صادقی، ۱۳۸۳؛ Stöcklin and Eftekharnezhad, 1969)، هم‌اکنون نیز آهن از معادن حسین‌آباد و شاه بولاغی استخراج می‌شود.

نباتیان و همکاران (Nabatian et al., 2015) کانه‌زایی اکسید آهن در محور سلطانیه-مهاباد از پهنه ایران مرکزی را با سنگ‌های آتشفسانی پرکامبرین-کامبرین سلطانیه و پرکامبرین قره‌داش مرتبط می‌دانند، که به‌وسیله بخش بالایی سازند کهر و بخش پایینی سازند سلطانیه میزبانی می‌شود. کانه‌زایی‌های آهن و آهن-منگنز محور حلب-دندي، کاوند، بالستان، کوسه‌لر، کرده، قزل‌دره، دابانلو، چنگوری، خم‌دره، میرجان-قالیچه‌بلاغ، چهارطاق، آغ‌بلاغ مهم‌ترین آنها در ناحیه سلطانیه هستند. هماتیت، گوتیت، و ± باریت کانه‌های اصلی در کانه‌زایی‌های بخش شمالی از قبیل کاوند، میرجان-قالیچه‌بلاغ و کوسه‌لر هستند، در حالی که در کانه‌زایی‌های بخش جنوبی ناحیه سلطانیه هماتیت و مگنتیت غالب است. علاوه بر این، تعدادی کانه‌زایی آهن نوع اسکارن و رگه‌ای گرمابی نیز در جنوب

آب‌سازند سلطانیه در زیرینه سلطانیه و سایر مناطق کشور همواره با کانه‌زایی آهن و طلا همراه است، و کلید اکتشافی برای بی‌جوبی این نوع کانه‌زایی است، یا اینکه به عنوان عامل چینه‌شناسی در کنار عوامل ماغماگی، گرمابی و تکتونیکی در تشکیل کانه‌زایی نوع کاوند نقش ایفا می‌نماید. از این‌رو، نتایجی که از تحقیق حاضر به دست می‌آید کمک شایانی برای انجام عملیات اکتشافی در مقیاس‌های محلی (کانسار) و ناحیه‌ای خواهد نمود.

سنگ‌نگاری، زمین‌شیمیابی، میانبارهای سیال و ریزکاوالکترونی برای تشریح سیستم تشکیل مواد معدنی در منطقه فراهم شده است. مقطع چینه‌شناسی شاخص سازند سلطانیه از کوههای سلطانیه در جنوب زنجان گزارش شده است، و سازندهای زمین‌شناختی هم‌ارز سازند سلطانیه در دیگر ایالت‌های زمین‌ساختی ایران نیز گزارش شده است. در منطقه کاوند، این سازند سنگ درون‌گیر اصلی کانه‌زایی آهن و طلا است. سوال اساسی که مطرح می‌شود این است که



شکل ۱. موقعیت محدوده کاوند در نقشه پهنه‌های زمین‌ساختی ایران (بازنگری شده از Stöcklin, 1968)

معدنی، و سنگ‌های آذرین نفوذی نمونه‌برداری صورت گرفته است. تعداد ۸ مقطع نازک، ۸ مقطع صیقلی و ۱۳ مقطع نازک-صیقلی تهیه شده و مطالعات میکروسکوپی سنگ‌شناسی، کانی‌شناسی و ساخت و بافت ماده معدنی

روش مطالعه

در انجام این پژوهش، برای بررسی‌های سنگ‌شناسی، کانی‌شناسی و زمین‌شیمی ماده معدنی و سنگ میزان، از رسوبات آبراهه‌ای، کانسنگ‌ها، سنگ میزان مواد

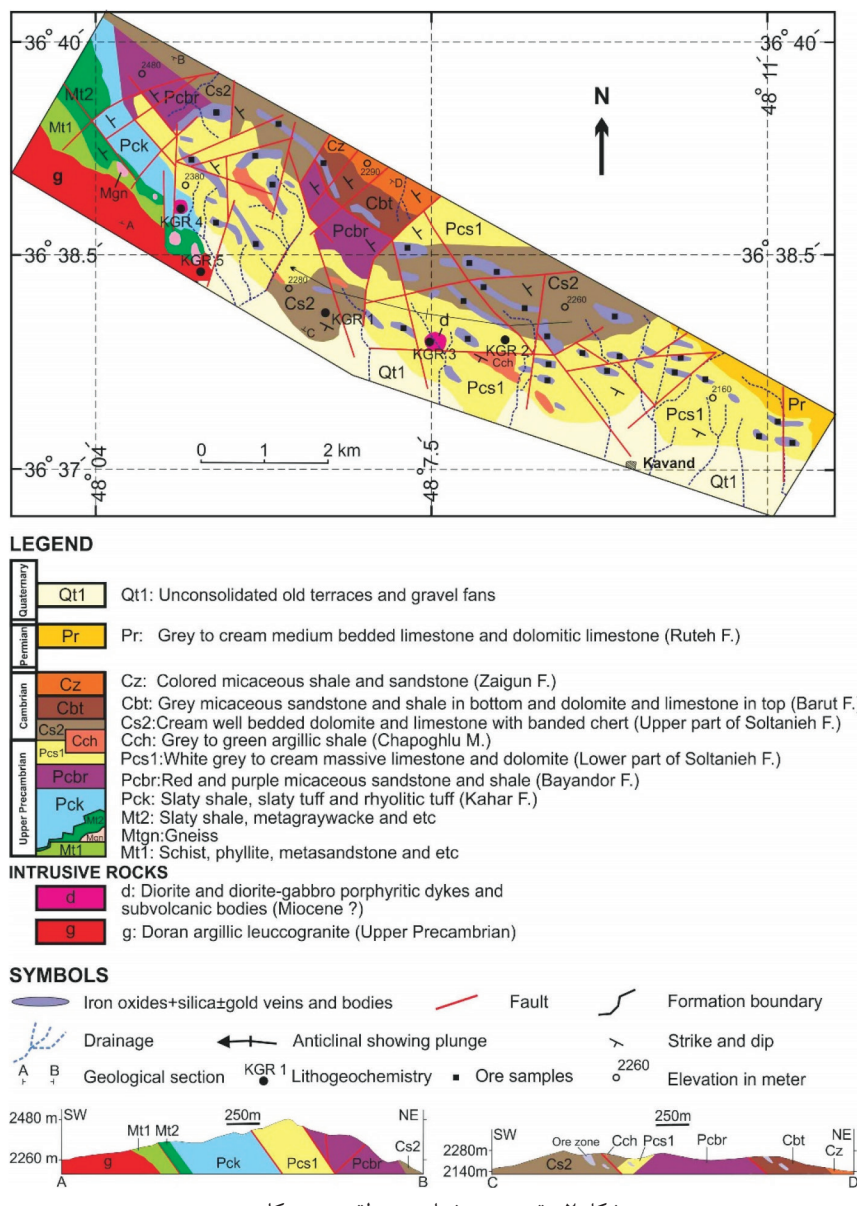
با دستگاه XRD ساخت کمپانی فیلیپس مدل PW1800 در آزمایشگاه کانساران بینالود در تهران بررسی شده است. برای اندازه‌گیری ریزدماسنجی میانبارهای سیال تعداد ۵ نمونه دوبرصیقلی از مراحل کانه‌زایی با همیافتی کانیابی اکسیدهای آهن+باریت+کوارتز+طلاء و کوارتز+سولفید+طلاء تهیه شده است. مطالعه میانبارهای سیال بر روی کانی کوارتز با استفاده از دستگاه مدل THMS60 ساخت کمپانی لینکام کشور انگلستان در آزمایشگاه مرکز تحقیقات مواد معدنی ایمیدرو در کرج به تعداد ۳۱ نقطه انجام شده است. مطالعات حرارت‌سنجدی با عملیات سرمایش و گرمایش بر روی میانبارهای سیال انجام می‌گیرد. حدود درجه حرارت مراحل سرمایش و گرمایش ۱۶۰-تا ۶۰۰ درجه‌سانتری گراد با دقیق ± 1 درجه‌سانتری گراد است. در این مطالعه انجماد نهایی میانبارهای سیال دوفازی غنی از مایع در محدوده دمایی ۹۰-تا ۱۰۰ درجه صورت گرفته است، سپس دما را بالا برده تا ذوب اولین نقطه بخ آشکار شود. این دما نشان دهنده املال موجود در نمونه است و به دمای اولین ذوب بخ یا دمای اوتکتیک (Te) معروف است. با ادامه گرمایش بخ بیشتری شروع به ذوب شدن می‌کند، و آخرین کریستال بخ در دمای موسوم به $T_{m(ice)}$ ذوب خواهد شد. شوری میانبارهای سیال غنی از مایع از درجه حرارت‌های اندازه‌گیری شده ذوب بخ با استفاده از معادله بودنار (Bodnar, 1983) محاسبه شده است. پس از ذوب آخرین کریستال بخ، میانبار تنها حاوی مایع و حباب گاز خواهد بود. با ادامه گرمایش این دوفاز با هم ادغام شده و به یک فاز تبدیل می‌شود و دمای هموژن شدن (T_h) به دست می‌آید. تعدادی از ذرات طلای از بخش EPMA تغییط یافته نمونه‌های رسوب آبراههای با دستگاه Cameca SX100 ساخت کشور فرانسه در آزمایشگاه مرکز تحقیقات مواد معدنی ایمیدرو در کرج تجزیه شده است. این اندازه‌گیری‌ها تحت شرایط ولتاژ 25 keV برای فلزات و 15 keV برای سیلیکات‌ها و اکسیدهای جریان بیم 20 nA و قطر بیم $5\text{ }\mu\text{m}$ انجام گرفته است، و مقدار حد حساسیت روش EPMA برای همه عناصر در این تحقیق $100\text{ g}\text{cm}^{-2}$ در تون بوده است.

روی آنها انجام گرفته است. تعداد ۵ نمونه از سنگ میزبان ماده معدنی (دولومیت) و سنگ‌های آذرین نفوذی برای مطالعات زمین‌شیمیابی برداشت شده است. نمونه‌ها از مکان‌هایی انتخاب شدند که سالم، غیردگرسان شده و عاری از رگه‌رگچه بودند. دولومیت‌های منطقه ریزدانه و نسبتاً همگن بوده، و روش نمونه‌برداری از آنها قطعه‌ای بوده است، و برداشت یک قطعه سنگ، معرف تمام محیط نمونه‌برداری بوده است. سنگ‌های آذرین دارای بافت متوسط تا درشت‌دانه بوده، و نمونه‌برداری از آنها به روش لبپری-شیاری انجام شده است، بدین ترتیب که در هر ایستگاه تعدادی قطعه کوچک سنگ با مقطع عرضی $3\text{ }\times\text{ }4\text{ }\text{cm}^2$ سانتی‌متر مربع برداشت شده است. نمونه‌های سنگ به ترتیب مراحل خردایش و آسیاب را پشت‌سر گذاشتند، و برای تعیین مقادیر غلظت اکسید عناصر اصلی به روش ذوب با XRF ساخت کمپانی فیلیپس مدل PW1480 در آزمایشگاه مرکز تحقیقات مواد معدنی ایمیدرو در کرج تجزیه شده‌اند. مقادیر غلظت عناصر اصلی و کمیاب نمونه‌های سنگ به روش انحلال در مخلوط چهاراسید با ICP-OES مدل Varian 735-ES در آزمایشگاه مرکز تحقیقات مواد معدنی ایمیدرو در کرج تجزیه شده‌اند. برای دست‌بیابی به نمونه معرف از مناطق کانه‌زایی، تعداد ۲۹ نمونه کانسنگ به روش لبپری-شیاری از رگه‌های کانه‌زایی اکسیدهای آهن، اکسیدهای آهن+باریت+کوارتز+طلاء و کوارتز+سولفید+طلاء برداشت شده است. این نمونه‌ها به ترتیب مراحل خردایش و آسیاب را پشت‌سر گذاشتند، و برای تعیین عیار عناصر اصلی و کمیاب به روش انحلال در مخلوط چهاراسید با ICP-OES مدل Varian 735-ES و عنصر طلا به روش قالگذاری با جذب اتمی مدل 5300 Perkin-Elmer در آزمایشگاه مطالعات مواد معدنی زرآما در تهران تجزیه شده است. در این تحقیق، برای ارزیابی میزان دقت تجزیه‌های شیمیابی از نمونه‌های تکرای استفاده شده است. بدین ترتیب که برای هر ۱۰ نمونه اصلی یک نمونه تکراری تجزیه شده است، و میزان خطای آنالیز برای عناصر مختلف در روش‌های دستگاهی مذکور کمتر از ۱۵ درصد برآورد شده است. برای مطالعه کانی‌شناسی مناطق دگرسانی ۱۸ نمونه سنگ و کانسنگ

زمین‌شناسی

نقشه زمین‌شناسی با مقیاس ۱/۵۰۰۰ از محدوده کانه‌زایی تهیه گردید (شکل ۲)، برای این منظور نقشه توپوگرافی ۱/۵۰۰۰ و تصویر ماهواره‌ای منطقه به عنوان نقشه پایه بوده است. در این منطقه سازنده‌های زمین‌شناسی از قدیم به جدید شامل: فیلیت، کوارتزیت و میکاشیست (Mt1)، میکاشیست و گنس (Mtgn)، شیل و ماسه‌سنگ اسلیتی نازک لایه سبز-خاکستری (Mt2)، توف ریولیتی، توف اسلیتی و افق‌های نازک دولومیتی سازند کهر (PCK) (شکل ۳-الف)، گرانیت دوران پرکامبرین (g) (شکل ۳-ب)، شیل و

کانه‌زایی کاوند در زیرپهنه سلطانیه و در منتهی‌الیه بخش شمال غربی پهنه ایران مرکزی واقع شده است (شکل ۱). در تقسیم‌بندی ورقه‌های زمین‌شناسی، این منطقه در چهارگوش‌های زمین‌شناسی ۱/۲۵۰۰۰ و ۱/۱۰۰۰۰ ۱/۲۵۰۰۰ و زنجان جای گرفته است، و سازنده‌های زمین‌شناسی پرکامبرین پسین-کامبرین پیشین بخش عمده‌ای از منطقه را دربرمی‌گیرند (باباخانی و صادقی، ۱۳۸۳؛ Stöcklin and Eftekharnezhad, 1969).

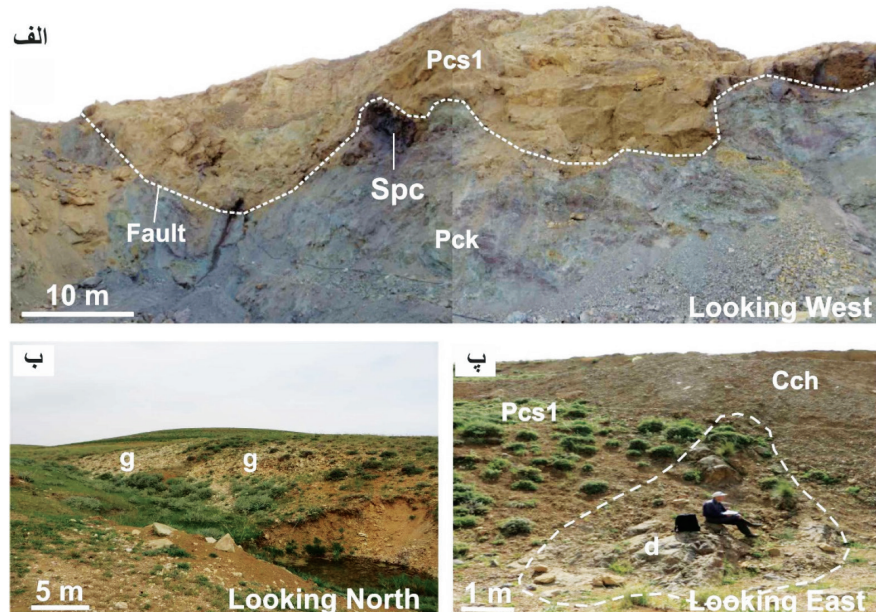


پرکامبرین پسین-کامبرین پیشین (باپندور و سلطانیه) به طور ناپیوسته بر روی نهشته‌های سازند کهر و نیز نفوذ توده گرانیتی دوران بدورون نهشته‌های سازند کهر، می‌تواند نمودی از فاز کوه‌زایی آستیک در منطقه باشد (Stöcklin and Eftekharnezhad, 1969). نبود رخساره‌های سنگی مربوط به اردوبیسین پایانی تا پرمین آغازی در زیرپهنه سلطانیه و جایگیری نهشته‌های پرمین درود بر روی نهشته‌های پرکامبرین بالای نشان دهنده وجود یک فاز فرسایشی قوی در این فاصله زمانی در زیرپهنه سلطانیه است که به احتمال زیاد بی‌آمد فاز کوه‌زایی کالدونین می‌باشد (باباخانی و صادقی، ۱۳۸۳؛ Stöcklin and Eftekharnezhad, 1969).

به دلیل تحمل فازهای کوه‌زایی متعدد، در واحدهای سنگی منطقه گسل‌های امتداد‌لغز، عادی و چین‌خوردگی‌های زیادی ایجاد شده است. سه دسته گسلی با جهات امتداد NW-SE، NE-SW و E-W در منطقه ثبت شده است، ولی کانه‌زایی عموماً در امتداد ساختارهای تکتونیکی با روند NW-SE رخ داده است، و زاویه شب گسل‌ها از ۵۰ تا ۷۵ درجه تغییر می‌کند (شکل ۲).

ماسه‌سنگ میکادر بمنگ فرمزو بنفش سازند بایندر (Cbr)، دولومیت، آهک دولومیتی و شیل سازند سلطانیه (PCs)، شیل، ماسه‌سنگ و دولومیت سازند باروت (Cbt)، شیل و ماسه‌سنگ میکادر صورتی سازند زایگون (Cz)، سنگ‌های آهکی پرمین سازند روته (Pr)، دایک و توده‌های کوچک نیمه ژرف دیوریتی و دیوریت-گابرو (d) به سن احتمالی میوسن می‌باشد (شکل ۳-پ). اگرچه کانه‌زایی آهن و طلا در همه سازندهای زمین‌شناسی پرکامبرین پسین-کامبرین پیشین مشاهده می‌شود، اما دولومیت‌های سلطانیه میزبان بخش عمده‌ای از کانه‌زایی در منطقه کاوند است، سازند سلطانیه دارای دو بخش کربناتی است که به‌وسیله عضو شیلی چپلو از هم‌دیگر جدا می‌شوند. بخش کربنات پایینی دارای ترکیب دولومیت آهکی و دولومیت توده‌ای برنگ سفیدخاکستری تا کرمی با گرهک‌های چرت (PCs1)، عضو شیل آرژیلیتی خاکستری تا سبز چپلو (C_{ch}) و بخش کربنات بالای دارای دولومیت کرم رنگ با لایه بندی خوب دارای نوارهای چرت (C_{s2}) است (شکل ۲).

از نگاه زمین‌ساختی، جایگیری نهشته‌های آواری-کربناته



شکل ۳. تصاویر صحرایی از سازندهای زمین‌شناسی و توده‌های نفوذی منطقه. (الف) دولومیت‌های بخش پایینی سلطانیه (PCs1) با مرز گسلی بر روی توف‌های اسلیتی و ریولیتی سازند کهر (PCK) قرار گرفته است، و اسپکیولاریت (Spc) فضای‌های خالی دولومیت را پر کرده است (دید به سمت غرب)، (ب) رخنمونی از گرانیت دوران که دگرسانی آرژیلیتی را متحمل شده (g)، و در سنگ‌های دگرگونه پرکامبرین بالایی و سازند کهر نفوذ کرده است (دید به سمت شمال)، (پ) نفوذی دیوریت و دیوریت-گابرو در دولومیت‌های بخش پایینی سلطانیه و عضو شیلی چپلو (Cch) (دید به سمت شرق).

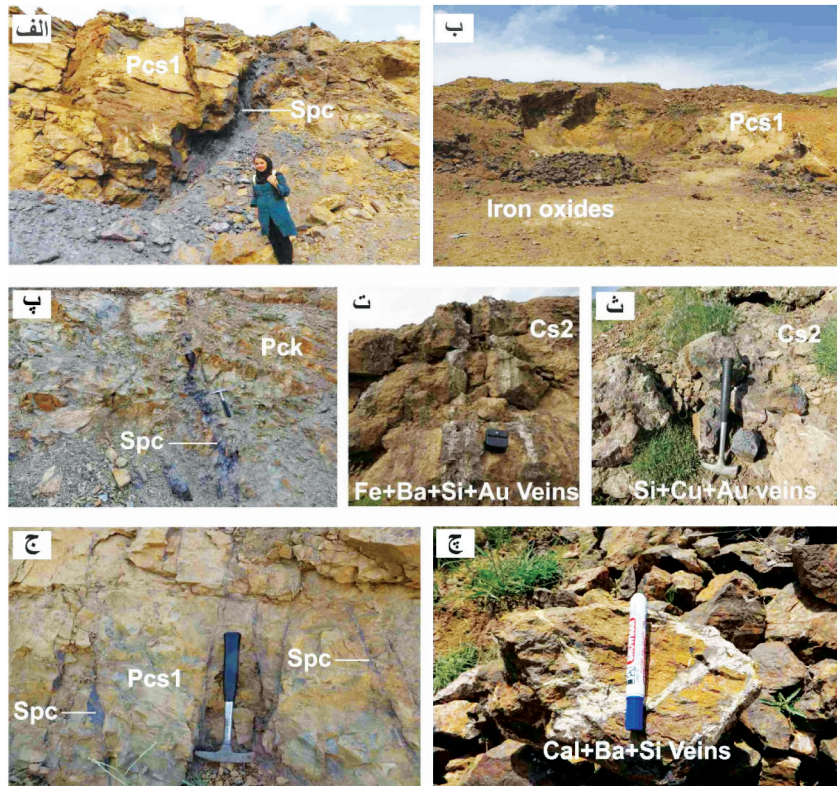
به صورت کانی‌های اسپیکیولاریت و هماتیت مشاهده می‌شود، و بعضًا بهوسیله‌ی کوارتز، باریت، دولومیت، کلسیت و سیدریت همراهی می‌گردد. در تشکیل این دگرسانی در منطقه کاوند سیالات گرمابی هیپوژن نقش داشته‌اند. به طوری که کانی‌های اسپیکیولاریت و هماتیت عموماً توسط سیالات گرمابی هیپوژن تشکیل شده‌اند، در حالی که گوتیت، لیمونیت و بخشی از هماتیت‌ها محصول هوازدگی سوپرژن هستند (شکل ۴-الف، ب). کربناتی شدن متداول‌ترین دگرسانی در دمای پایین تا متوسط در سنگ‌های آهکی و دولومیتی است. این دگرسانی در منطقه کاوند با وجود رگه‌های دولومیت، کلسیت قابل مشاهده است و بهوسیله‌ی باریت، کوارتز و به مقدار جزئی هماتیت و گوتیت همراه می‌باشد (شکل ۴-ج). سیلیسی شدن سنگ‌ها به روش‌های مختلفی رخ می‌دهد، از جمله؛ ۱) به عنوان احلال و شستشوی کاتیون‌های موجود در سنگ دیواره، مقدار سیلیس افزایش می‌یابد، ۲) از طریق دیگر منابع، مانند افزوده شدن محلول‌های ماقمابی و گرمابی غنی از سیلیس به سنگ و ۳) همچنین در مواردی، به عنوان تبدیل کانی‌ها در طی دگرسانی، سیلیس حاصل می‌شود که این سیلیس در مجموعه پاراژنتیکی دگرسانی وارد می‌گردد. در منطقه کاوند سنگ درون‌گیر کانه‌زایی از نوع کربناتی می‌باشد، بنابراین سیلیسی شدن در این منطقه به احتمال خیلی زیاد بهوسیله‌ی محلول‌های ماقمابی و گرمابی غنی از سیلیس رخ داده است و با کانه‌زایی مس، طلا و آهن همراه می‌باشد (شکل ۴-ت، ث).

سنگ‌نگاری و کانه‌نگاری

در این قسمت، دولومیت سازند سلطانیه و سنگ‌های آذرین نفوذی منطقه از منظر سنگ‌نگاری توصیف می‌گردد. بر پایه شواهد میکروسکوپی، سنگ‌های دولومیتی منطقه کاوند از نوع دولومیکرایت هستند. این سنگ‌ها دارای بلورهای ریز و بی‌شکل تا نیمه‌شکل دار دولومیت با اندازه‌هایی در حدود ۵ تا ۱۶ میکرون می‌باشند. دولومیت‌های کاوند دارای گرهک و نواهای چرت بوده، و شکستگی‌ها و فضاهای کارستی آنها بهوسیله اکسیدهای آهن، سیلیس، باریت، کلسیت، و دولومیت پر شده است. گرانیت بزرگ‌ترین توده آذرین منطقه کاوند است. کوارتز، ارتوز، پلازیوکلаз، آمفیبول و بیوتیت

کانه‌زایی و دگرسانی

کانه‌زایی در منطقه کاوند در سازندهای کهر، سلطانیه و باروت تشکیل یافته است. در این میان بخش عمدی کانه‌زایی توسط دولومیت‌های سازند سلطانیه میزبانی می‌شود. بر اساس مشاهدات صحرایی و همیافتدی‌های کانی‌شناسی، کانه‌زایی به بخش‌های اکسید آهن (عمدتاً اسپیکیولاریت)، اکسیدهای آهن+باریت+کوارتز+طلا و کوارتز+سولفید+طلا تفکیک می‌شود. کانی‌سازی نوع اکسیدهای آهن به صورت رگه-رگه‌های، انبوه‌های و پرکنندگی فضاهای خالی در سنگ‌های میزبان دیده می‌شود، و رخنمون آن‌ها از چند سانتی‌متر تا چند متر تغییر می‌کند. کانی‌های تشکیل‌دهنده آن‌ها عمدتاً اسپیکیولاریت و هماتیت است که بهوسیله‌ی گوتیت و لیمونیت همراهی می‌شود (شکل ۴-الف، ب، پ و ج). کانی‌سازی اکسیدهای آهن+باریت+کوارتز+طلا عموماً با سنگ‌های دولومیت سازند سلطانیه میزبانی می‌شود و به صورت رگه-رگه‌های و پرکنندگی فضاهای خالی می‌باشد، و ابعاد رخنمون آن‌ها در منطقه کاوند از چند سانتی‌متر تا چند متر هم می‌رسد (شکل ۴-ت). کانی‌های موجود در آنها اکسیدهای آهن (هماتیت، گوتیت، لیمونیت و اسپیکیولاریت)، باریت و کوارتز می‌باشد. در تجزیه‌های شیمیایی این پژوهش مقدار بیشینه طلا در نمونه‌های این نوع کانه‌زایی ۱۴/۶ گرم در تن اندازه‌گیری شده است. کانی‌سازی کوارتز+سولفید+طلا نیز عموماً توسط سنگ‌های دولومیت سازند سلطانیه میزبانی می‌شود و به صورت رگه‌های و به ضخامت چند سانتی‌متر تا حدود ۲ متر مشاهده می‌شود (شکل ۴-ث). کانی‌های تشکیل‌دهنده آن‌ها کوارتز، سولفید (کالکوبیریت، پیریت، کالکوسیت و کوولیت)، مالاکیت، آزوریت، گوتیت و لیمونیت می‌باشد. در تجزیه‌های شیمیایی مقدار بیشینه طلا در نمونه‌های این نوع کانی‌سازی ۹/۸ گرم در تن اندازه‌گیری شده است. در منطقه کاوند به دلیل گسترش سازندهای کربناتی، مناطق دگرسانی از گسترش زیادی برخوردار نیستند. باوجوداین، برآسas شواهد صحرایی، میکروسکوپی و کانی‌شناسی به روش XRD دگرسانی‌های مرتبط با کانه‌زایی از نوع اکسید‌آهنی، کربناتی و سیلیسی هستند. دگرسانی اکسید‌آهنی فرآگیرترین نوع دگرسانی در منطقه کاوند است و



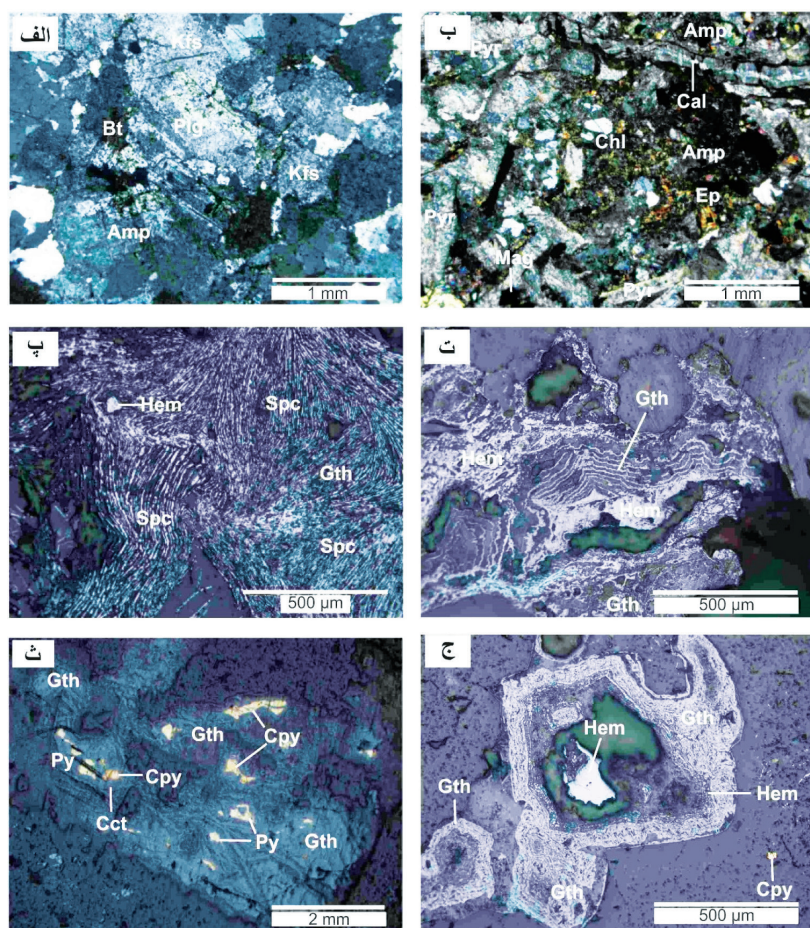
شکل ۴. تصاویر صحرایی از کانه‌زایی و دگرسانی منطقه. (الف) رگه‌رگچه‌های اسپیکیولاریت در دولومیت‌های بخش پایینی سلطانیه Pcs1 (دید به سمت شمال شرق)، (ب) انبوه‌های از هماتیت، گوتیت، اسپیکیولاریت و لیمونیت (Iron-oxides) در دولومیت‌های بخش پایینی سلطانیه (نگاه به سمت شمال)، (پ) رگه‌رگچه‌های اسپیکیولاریت در توف‌های اسلیتی و رویلیتی سازند کهर Pck (دید به سمت شمال غرب)، (ت) رگه‌های موادی باریت، سیلیس و اکسیدهای آهن طلدار در دولومیت‌های چرت‌دار بخش بالای سلطانیه Cs2 (دید به سمت شرق)، (ث) رگه‌رگچه‌های سیلیسی مس و طلدار در دولومیت‌های چرت‌دار بخش بالای سلطانیه (دید به سمت شرق)، (ج) رگه‌رگچه‌های اسپیکیولاریت در دولومیت‌های بخش پایینی سلطانیه (دید به سمت شمال)، (چ) رگه‌های کلسیت، باریت و کوارتز در دولومیت‌های چرت‌دار بخش بالای سلطانیه. علامت اختصاری کانی‌ها از (Whitney and Evans, 2010). Spc: Specularite; Cal: Calcite

در منطقه کاوند، مطالعات کانی‌شناسی منجر به شناسایی کانی‌های اکسیدی، سولفیدی، سیلیکاتی، کربناتی و سولفاتی شده‌است، که به صورت‌های اولیه (هیپوزن) و ثانویه (سوپرژن) تشکیل شده‌اند. اسپیکیولاریت، هماتیت، کالکوپیریت و پیریت کانه‌های اصلی و اولیه، کالکوسیت، کولولیت، مالاکیت، آزوریت، گوتیت، لیمونیت و بخشی از هماتیت‌ها کانه‌های ثانویه هستند. کوارتز، باریت و کربنات‌ها (کلسیت، دولومیت و سیدریت) کانی‌های باطله کانه‌زایی را تشکیل می‌دهند. اسپیکیولاریت کانه اصلی کانه‌زایی نوع اکسید آهن است، و به وسیله هماتیت، گوتیت، پیریت اکسید شده و لیمونیت همراهی می‌شود (شکل ۵-پ). در کانه‌زایی‌های اکسیدهای آهن+باریت+کوارتز+طلا و کوارتز+سولفید+طلا نیز به مقدار جزئی اسپیکیولاریت وجود

کانی‌های این سنگ را تشکیل می‌دهد، این گرانیت دارای بافت دانه متوسط تا درشت بلور است (شکل ۵-الف). این سنگ‌ها دگرسانی شدیدی را متحمل شده‌اند و گاهی برای کائولن استخراج می‌شوند. کانی‌های رسی، سریسیت، کلریت و کوارتز‌های ثانویه محصولات دگرسانی هستند. دیوریت و دیوریت-گابرو به صورت دایک و توده‌های نفوذی کوچک به ابعاد ۵ تا ۲۰ متر در سازند سلطانیه مشاهده می‌شود. این سنگ‌ها دارای سن احتمالی الیگومیوسن هستند (باباخانی Stöcklin and Eftekharnezhad, ۱۳۸۳؛ و صادقی، ۱۹۶۹). پیروکسن، آمفیبول، و بهندرت پلاژیوکلاز، مگنتیت و پیریت کانی‌های آنها را تشکیل می‌دهند. آن‌ها تا حدودی بافت پورفیری دارند و دگرسانی ضعیفی به کلریت، اپیدوت و سریسیت نشان می‌دهند (شکل ۵-ب).

می شود (شکل ۵-ت). پیریت به صورت بلورهای شکل دار تا نیمه شکل دار، با اندازه میکرون تا میلی متر در کانه زایی کاوند و بهویژه در رگه های کوارتز+سولفید+طلاء وجود دارد. این کانی در اثر دگرسانی و هوازدگی به وسیله اکسید و هیدروکسیدهای آهن جانشین می شود (شکل ۵-ث، ج)، کالکو سیت، کوولیت، مالاکیت و آزوریت حاصل جانشینی کالکو پیریت هستند (شکل ۵-ث). گوتیت و لیمونیت در شرایط سطحی و در نتیجه جانشینی کانی های اکسیدی هماتیت و اسپیکیولاریت) و سولفیدی (کالکو پیریت و پیریت) شکل گرفته است (شکل ۵-ب، ت، ث و ج).

دارد. همایتیت بهصورت اولیه تحت شرایط فوگاسیته بالای اکسیژن از سیالات غنی از آهن تشکیل می‌گردد، و همچنین بهصورت ثانویه از دگرسانی و هوازدگی مگنتیت، پیریت و کانی‌های دیگر ناشی می‌شود. هر دو حالت همایتی در کانه‌زایی کاوند وجود دارد و همراهی آن با اسپیکیولاریت، گوتیت و لیمونیت عمومیت دارد (شکل ۵-پ، ت و ج). کالکوپیریت کانی مهم سولفیدی منطقه است، و تنها در رگه‌های کوارتز+سولفید+طلاء مشاهده می‌شود. کالکوپیریت با پیریت همیافتی دارد و از حاشیه‌ها و امتداد شکستگی‌ها به کالکوسیت، کوولپیت، گوتیت، مالاکیت و آزوربیت تبدیل



شکل ۵. تصاویر میکروسکوپی از سنگ‌ها و کانسنسگ‌های منطقه کاوند. الف) گرانیت تیپ دوران که کانی‌های فلدسپار و کوارتز بافت دانه‌ای درشت بلور تشکیل می‌دهند، ب) تصویری از دیوریت‌گابرو که پیروکسن و آمفیبول کانی‌های غالب سنگ هستند و به اپیدوت، کلریت و کلسیت دگرسانی نشان می‌دهند، پ) تصویری از اسپیکولاریت که به طور ضعیف بهوسیله هماتیت و گوتیت در حال جانشینی است، ت) بافت کلوفرمی گوتیت و هماتیت که تحت شرایط سطحی سوپرژن تشکیل می‌شود، ث) تصویر از رگه کوارتز+سولفید+طلاء که کالکوپیریت و پیریت در حال جانشینی بهوسیله کالکوسیت و گوتیت است، ج) جانشینی پیریت بهوسیله هماتیت و گوتیت در شرایط سوپرژن: Bt: Amphibole; mp: Biotite; Cal: Calcite; Cpy: Chalcopyrite; Cct: Chalcocite; Chl: Chlorite; Ep: Epidote; Gth: Goethite; Hem: Hematite; Kfs: K-feldspar; Spc: Specularite; Mag: Magnetite; Plg: Plagioclase; Py: Pyrite; Pyr: Pyroxene

به ترتیب کوارتز، باریت، پیریت، کالکوپیریت و هماتیت، و در مرحله دو هیپوزن اسپیکیولاریت، هماتیت، کوارتز و کلسیت تشکیل شده است. در مرحله سوپرژن کانی‌های کالکوسیت، کوولیت، هماتیت، گوتیت، لیمونیت، آزوریت، مالاکیت از جانشینی پیریت، کالکوپیریت و اکسیدهای آهن اولیه تحت فرآیند هوازدگی سطحی تشکیل شده‌اند. توالی پارازنزی کانه‌زایی کاوند در جدول (۱) داده شده است.

در کانه‌زایی کاوند، بافت‌های رگه‌رگچه‌ای، انبوه‌های پرکنندگی فضاهای خالی و جانشینی عمومیت دارند و بیشتر کانی‌ها این بافت‌ها را دارا هستند. بافت‌های کلوفرمی و باقیمانده نیز به ترتیب در اکسیدهای آهن ثانویه (گوتیت و هماتیت) و سولفیدها (کالکوپیریت و پیریت) مشاهده می‌شود (شکل ۵-پ، ت، ث، و ج). براساس شواهد کانه‌نگاری، تکوین کانه‌زایی کاوند را می‌توان به دو مرحله هیپوزن و سوپرژن تقسیم نمود. در مرحله یک هیپوزن

جدول ۱. توالی پارازنتیکی کانه‌زایی در منطقه کاوند

کانی‌ها	کانی‌های سنگ میزبان	کانه‌زایی هیپوزن		کانه‌زایی سوپرژن
		مرحله ۱	مرحله ۲	
کلسیت	■■■		■■■	
دولومیت	■■■			
کوارتز		■■■	■■■	
باریت		■■■	■■■	
سیدریت			■■■	
پیریت		■■■	■■■	
کالکوپیریت		■■■	■■■	
اسپیکیولاریت	■■■		■■■	
هماتیت			■■■	
کالکوسیت				■■■
کوولیت				■■■
گوتیت				■■■
لیمونیت				■■■
آزوریت				■■■
مالاکیت				■■■
رگه‌رگچه‌ای		■■■	■■■	
انبوه‌های پرکننده فضاهای خالی	■■■	■■■		
جانشینی				■■■
کلوفرمی				■■■
باقیمانده				■■■

زمین‌شیمی دولومیت و سنگ‌های آذرین

دولومیت‌های سلطانیه در منطقه کاوند دارای Sr و Na پایین بوده، و از این نظر با دولومیت رنسون (Renison, 1996) نوپروتزوژنیک در ایالت تاسمانیای استرالیا (Rao, 1996) قابل مقایسه می‌باشد (شکل ۶-الف، ب). دولومیت‌های پرکامبرین از نوع دولومیت‌های آب سرد هستند (آدابی، ۱۳۹۰؛ Shukla, 1988؛ Flood and Chivas, 1995). (and Baker, 1988; Flood and Chivas, 1995

مقادیر غلظت عناصر اصلی و کمیاب برای سنگ‌های دولومیت سلطانیه، گرانیت، دیوریت و دیوریت-گابرو در منطقه کاوند در جدول‌های (۲) و (۳) آورده شده است. تعداد ۲ نمونه از سنگ‌های دولومیتی سلطانیه که میزبان اصلی کانه‌زایی هستند و ۳ نمونه از سنگ‌های گرانیت، گابرو دیوریت و فروگابرو برداشت شده است.

جدول ۲. مقادیر غلظت اکسید عناصر اصلی (برحسب درصد وزنی) در دولومیت سلطانیه و سنگ‌های آذرین منطقه کاوند به روش فلورسانس اشعه ایکس (XRF)

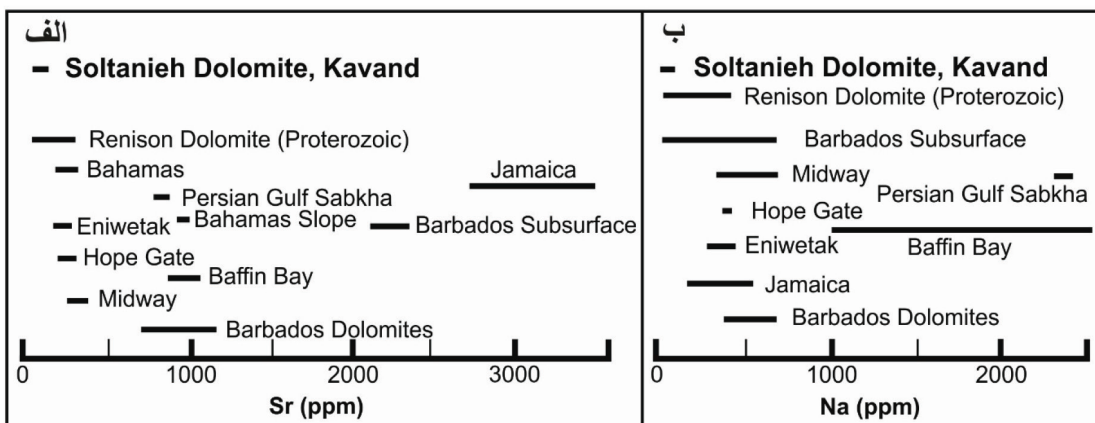
نمونه	جنس سنگ	X	Y	SiO ₂	Al ₂ O ₃	Fe ₂ O ₃	MgO	CaO	Na ₂ O	K ₂ O	TiO ₂	P ₂ O ₅	SO ₃	L.O.I.
KGR ۱	دولومیت	۲۴۴۶.۰	۴.۵۸۳۴۰	۲/۵۸	۱/۲۵	۳/۶۷	۶/۷۳	۴۰/۹۳	۰/۱>	۰/۱>	۰/۱>	۰/۱>	۰/۱>	۴۴/۸۵
KGR ۲	دولومیت	۲۳۸۶۶۳	۴.۶۱۲۷۶	۱/۶۰	۰/۴۶	۲/۹۵	۹/۷۷	۳۹/۸۳	۰/۱>	۰/۱>	۰/۱>	۰/۱>	۰/۱>	۴۴/۹۹
KGR ۳	دیوریت	۲۳۸۰۷۶	۴.۶۰۷۸۶	۵۶/۰۲	۱۴/۲۷	۱۳/۴۵	۶/۴۴	۱۱/۶۴	۲/۲۲	۰/۶۹	۱/۷۵	۰/۲۰	۰/۳۶	۱/۸۶
KGR ۴	دیوریت-گابرو	۲۴۴۴۱۲	۴.۵۷۶۲۰	۴۳/۹۲	۱۱/۶۰	۱۹/۴۹	۳/۶۴	۸/۱۳	۲/۰۱	۲/۴۸	۳/۲۲	۰/۹۲	۰/۶۳	۳/۹۵
KGR ۵	گرانیت	۲۳۷۶۱۸	۴.۵۰۲۹۹	۷۰/۴۹	۱۳/۱۱	۳/۴۶	۰/۱>	۲/۴۴	۳/۴۹	۴/۰۷	۰/۱>	۰/۲۸	۰/۱۸۴	۲/۲۱

جدول ۳. مقادیر غلظت عناصر کمیاب (گرم در تن) در دولومیت سلطانیه و سنگ‌های آذرین منطقه کاوند به روش ICP-OES

نمونه	جنس سنگ	Ce	Co	Cr	Cu	La	Mo	Nd	Ni	Sc	Sr	V	Y	Zn	Zr
KGR ۱	دولومیت	۱۵	۶	۷/۵	۱۰	۱۵	۱/۵	۱۰	۷/۵	۵	۵۰	۱۰	۸	۱۲	۷/۵
KGR ۲	دولومیت	۱۵	۵	۱۰	۷/۵	۱۵	۱/۵	۸	۷/۵	۳/۸	۷۹	۱۱	۷	۲۲	۷/۵
KGR ۳	دیوریت	۵۵	۶۳	۳۷	۴۸	۵۹	۲/۳	۸۴	۲۳	۲۵	۲۹۹	۲۱۲	۴۳	۱۲۵	۱۳۸
KGR ۴	دیوریت-گابرو	۳۵	۵۴	۱۰۴	۱۵	۳۵	۳/۱	۲۲	۴۷	۳۷	۳۱۰	۲۲۳	۲۷	۱۶۱	۲۱
KGR ۵	گرانیت	۸۲	۱۰	۴۸	۱۲	۴۶	۳/۵	۶۵	۱۵	۷	۵۹	۱۷	۴۰	۶۷	۱۴۲

مقدار Na همانند Sr در دولومیت‌های استوی‌شیومتری اصولاً تمرکز Sr در دولومیت‌ها تابع اندازه بلورها است و دولومیت‌های دیازنزی درشت بلورتر در مقایسه با دولومیت‌های اولیه ریز بلور، مقدار کمتری Sr دارد (Shukla and Baker, 1988). از سوی دیگر مقدار Sr کانی اولیه‌ای که دولومیت جایگزین آن شده است، نیز بسیار اهمیت دارد (Veizer, 1978). به طور کلی دولومیت‌هایی که جایگزین کلسیت می‌شوند، نسبت به آنهایی که جانشین آراغونیت می‌شوند مقدار Sr کمتری دارند. علاوه بر این مقدار Sr در دولومیت‌ها با افزایش حالت استوی‌شیومتری کاهش می‌یابد (Vahernkamp and Swart, 1990)، به گونه‌ای که دولومیت‌های استوی‌شیومتری ۵۰ گرم در تن Sr دارند، در حالی که مقدار Sr دولومیت‌های غیر استوی‌شیومتری (نقص شبکه‌ای) به ۲۵۳ گرم در تن می‌رسد (آدابی، ۱۳۹۰).

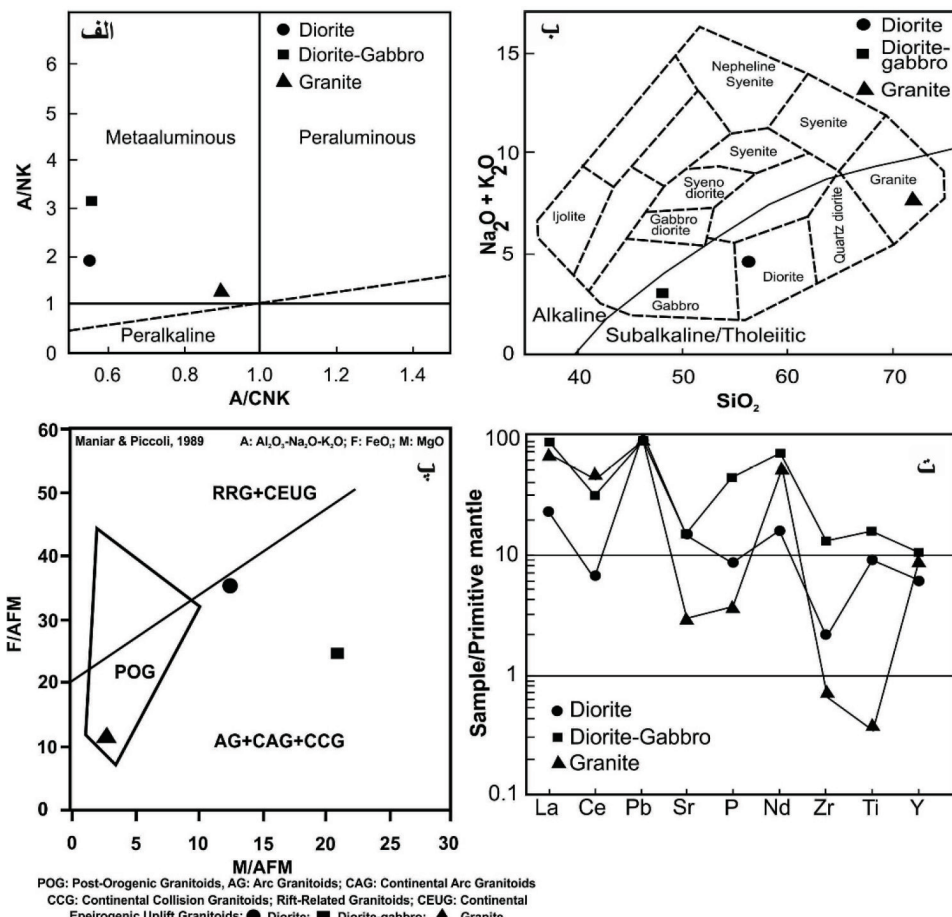
مقدار Na همانند Sr در دولومیت‌های استوی‌شیومتری به نسبت بالای این دو عنصر در دولومیت‌ها نشان دهنده حالت غیراستوی‌شیومتریک (نقص شبکه‌ای) و احتمالاً سوری بالای سیال‌های دولومیتساز است (Vahernkamp and Swart, 1990). سدیم در موارد بسیاری به عنوان شاخصی برای بی‌بردن به سوری قدیمه به کار گرفته می‌شود (Veizer, 1978; Land, 1985; Sass and Bein, 1988). از این‌رو می‌توان گفت که دولومیت‌های منطقه کاوند به دلیل مقدار پایین Sr و Na از نوع دولومیت‌های دیازنزی، استوی‌شیومتری و از آبهای سرد با سوری پایین در زمان پرکامبرین بالایی-کامبرین پایینی نهشته شده‌اند.



شکل ۶. مقایسه شیمی دولومیت‌های سلطانیه با دولومیت‌های پرکامبرین تا عهد حاضر (Rao, 1996). (الف) Sr, (ب) Na

که سنگ‌های دیوریت و گابرو الگوی زمین‌شیمیایی کاملاً مشابهی از عناصر کمیاب را نشان می‌دهند، در حالی که نمونه گرانیت از نظر Ti , Zr و Sr تهی شدگی بیشتری دارد (شکل ۷-ت)، در حالی که عنصر Ti در دیوریت و گابرو غنی شدگی دارد. ناهنجاری مثبت Ti در دیوریت و گابرو بیان از تشکیل آن‌ها از یک مagma مافیکی غنی از Ti است، و ناهنجاری منفی Ti در گرانیت‌ها مشارکت پوسته قاره‌ای را در فرآیند تشکیل آنها نشان می‌دهد. غنی شدگی Pb و Nd و تهی شدگی Zr در سنگ‌های دیوریت و گابرو منطقه بیان‌گر یک جایگاه کمانی مرتبط با فرورانش می‌باشد (Irvine and Baragar, 1971; Gill, 1981; Wilson, 1989; Goss and Kay, 2009; Kovalenko et al., 2010).

در نمودار تغییرات نسبت‌های A/CNK در برابر A/NK در برابر A/CNK (Maniar and Piccoli, 1989) نمونه‌های آذرین در قلمرو متالومینوس واقع می‌شوند (شکل ۷-الف). سنگ‌های SiO_2 آذرین منطقه در نمودار Na_2O+K_2O در برابر SiO_2 (Cox et al., 1979) در محدوده‌های گرانیت، دیوریت و گابرو قرار می‌گیرند (شکل ۷-ب)، که با نتایج مطالعات سنگنگاری هم‌خوانی دارند. در نمودار تمایز محیط تکتونیکی تشکیل گرانیتوئیدها (Maniar and Piccoli, 1989)، گرانیت کاوند در محیط گرانیتوئیدهای پس از کوه‌زایی و سنگ‌های دیوریتی و گابروئی در محیط کمان‌های قاره‌ای واقع شده‌اند (شکل ۷-پ). الگوی تغییرات عناصر کمیاب به هنجار شده به گوشته اولیه نمونه‌های سنگ‌های آذرین نشانگر این است



شکل ۷. (الف) نمودار تغییرات نسبت‌های A/CNK در برابر A/NK (Maniar and Piccoli, 1989) که نمونه‌های کاوند در قلمرو متالومینوس واقع است، (ب) نمودار Na_2O+K_2O در برابر SiO_2 (Cox et al., 1979) که نمونه‌های کاوند در محدوده‌های گرانیت، دیوریت و گابرو قرار دارند، (پ) نمودار تمایز محیط تکتونیکی گرانیتوئیدها (Maniar and Piccoli, 1989) که گرانیت کاوند در محیط گرانیتوئیدهای پس از کوه‌زایی و سنگ‌های دیوریتی و گابروئی در محیط کمان‌های قاره‌ای واقع شده‌اند، (ت) نمودار عناصر کمیاب به هنجار شده به گوشته اولیه (Sun and McDonough, 1989)، که غنی شدگی Pb و Nd و تهی شدگی Ce در تمامی سنگ‌های آذرین و تهی شدگی Sr و Ti در گرانیت مشهود است

درصد و ۱۲/۸ درصد است. در منطقه کاوند، از ۲۹ نمونه کانسنگ ۱۰ نمونه دارای مقدار طلای بیش از ۵۰/۰ گرم در تن، ۲۰ نمونه دارای مقدار آهن بیش از ۱۰ درصد و تنها ۳ نمونه دارای مس بیش از ۵۰/۰ درصد می‌باشد. اگرچه عیار مس در ۲ نمونه بالا است، اما به دلیل گسترش کم ارزش معنی ندارند.

تحلیل آماری چندمتغیره داده‌های کانسنگ به روش تجزیه خوشه‌ای، هم‌بافتی زمین‌شیمیایی عناصر طلا، مس، آرسنیک، نقره، روی، کادمیم، آنتیموان و تا حدودی باریم و سرب را نشان می‌دهد (شکل ۸). چنین هم‌بافتی عنصری قرابت زیادی با عناصر معرف و ردیاب کانسارهای طلای ابی‌ترمال دارد (Robert et al., 2015). آهن از عناصر مهم در این منطقه است، ولی در نمودار خوشه‌ای در شاخه جدا از طلا و مس قرار گرفته است، دلیل این امر این است که کانه‌زایی غالب آهن در منطقه کاوند به صورت اسپکتیولاریت است که در نتیجه فرایندهای آتشفشاری-رسوبی پرکامبرین بالایی به همراه بخش بالایی سازند کهر و دولومیت‌های سلطانی نهشته شده است (Nabatian et al., 2015)، و این تیپ کانه‌زایی آهن ارتباطی با رخداد کانه‌زایی طلا در زمان سنوزوئیک ندارند (پرتاک، ۱۳۹۶).

تهی‌شدگی Sr در گرانیت به علت تفرقی پلازیوکلаз در طول تبلور ماقمایی است، ولی در گابرو غنی‌شدگی Sr به دلیل وجود پلازیوکلاز کلسیم‌دار در ترکیب این سنگ‌ها است و Sr به دلیل اندازه و باریونی مشابه Ca در ترکیب پلازیوکلازهای کلسیم‌دار سنگ‌های مافیک قرار می‌گیرد (Rollinson, 1993). ناهنجاری منفی Ce در سنگ‌های آذرین منطقه نشان می‌دهد که سنگ مادر ماقمای آنها طی دگرسانی Ce خود را از دست داده است، و ناهنجاری مثبت Pb نشان دهنده آلایش پوسته‌ای یا متاسوماتیسم گوشته‌ای می‌باشد (شکل ۷-ت).

زمین‌شیمی کانسنگ

مقدار عناصر برای ۲۹ نمونه کانسنگ از منطقه کاوند در جدول (۴) آورده شده است. تحلیل‌های ژئوشیمیایی داده‌ها ثابت می‌کند که مقادیر Au، Cu، Fe، Ag، Ba، As، Zn، Cd و Sb در مقایسه با سایر عناصر غنی‌شدگی قابل ملاحظه‌ای دارند، و مقادیر Au و Cu برعی از نمونه‌ها در حد کانسارسازی است. مقدار میانگین عیار Fe، Au و Cu به ترتیب ۱/۲۸ گرم در تن، ۱۵/۷۰ و ۱۵/۶۰ درصد اندازه‌گیری شده است. مقدار بیشینه عیار Fe، Au و Cu به ترتیب ۱۴/۶۰ گرم در تن، ۲۸/۴۰ و ۲۸/۴۰ گرم در تن، ۱۴/۶۰ به ترتیب.

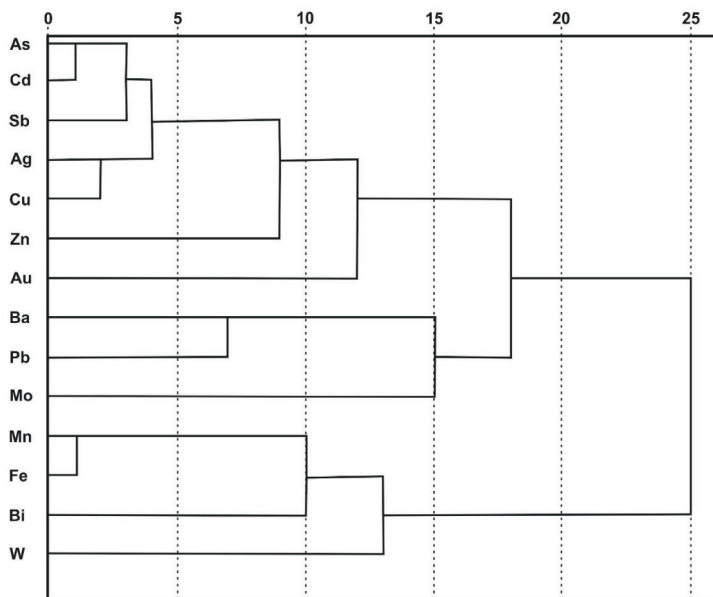
جدول ۴. مقدار عناصر در ۲۹ نمونه کانسنگ کاوند (طلا بر حسب میلی‌گرم در تن و سایر عناصر گرم در تن)

Sample	KG ۰۱	KG ۰۲	KG ۰۳	KG ۰۴	KG ۰۵	KG ۰۶	KG ۰۷	KG ۰۸	KG ۰۹	KG ۱۰	KG ۱۱	KG ۱۲	KG ۱۳	KG ۱۴	KG ۱۵
Au	۳۱۲	۴۲۰	۹۸۴۴	۴۰۲	۲۱۹	۱۵۵	۲۳	۴۳	۱۲۱	۸۹	۳۶	۵۷۱	۲۵۴	۱۸۲۷	۱۴
Fe	۵۳۱۰	۶۳۶۹۳	۶۵۴۹۶	۴۲۶۷۶	۹۹۸۴۰	۲۴۱۸۶۱	۲۴۷۷۲۷	۲۸۳۸۶۴	۱۳۹۱۷۷	۱۷۶۹۸۴	۱۷۱۳۶۲	۵۳۲۴۴	۱۶۲۰۲۲	۱۵۶۰۸۷	۲۵۴۱۷۳
Ag	۲۹/۰	۴۲/۰	۱۸/۶	۳۴/۰	۳۴/۰	۶۴/۰	۵۹/۰	۳۴/۰	۴۸/۰	۴۱/۰	۳۹/۰	۳۶/۰	۸۴/۰	۴۲/۰	۳۰/۰
As	۸۰/۷	۷۰/۳۰	۱۴۸۶۲	۸۲	۴۰/۱۲	۴۰/۱۴	۷۰/۱۴	۲۰/۸	۵۰/۱۳۸	۵۰/۱۸	۶۰/۱۴	۶۰/۲۸	۶۰/۱۵۱	۹۰/۶۳	۷۰/۸
Ba	۷۳۱۳	۴۳۴	۲۰۷	۱۱۵۵	۳۸۲	۱۴۵۵	۱۳۱۳	۹۶	۴۵۵	۱۰۷	۱۴۷	۲۴۱	۷۰۸۷	۱۰۰	۲۶۴
Bi	۴۲/۰	۴۴/۰	۴۸/۰	۴۵/۰	۹/۰/۱۵	۸/۰/۹۲	۹۰	۳۰/۱۰۲	۵۰/۱۴	۲۰/۳۵	۹۰/۴۳	۴۷/۰	۲۰	۳۸	۵۰/۷۰
Cd	۴۵/۰	۵۴/۰	۲۴/۴۷	۳۵/۱	۲۸/۰	۲۹/۰	۲۷/۰	۳۱/۰	۱۱/۱	۳۰/۰	۳۰/۰	۸۶/۰	۵۳/۰	۲۸/۰	
Cu	۲۳	۲۸	۱۲۸۳۱۴	۳۶۴	۳	۳۶	۳۲	۲	۹۰۵	۳	۲	۶	۴۶۵۸	۳۴۹	۴
Mn	۱۴۹	۱۱۴۱	۴۰۰	۲۶۶۳	۵۰۶۷	۲۷۸۵۳	۲۵۹۴۴	۶۳۳	۱۳۱۵۰	۱۱۴۴	۱۷۲۰	۲۰۷۱	۱۳۰۰	۶۰۶	۲۱۲
Mo	۸۰/۲	۶	۷۰/۲	۵۰/۵	۷۰/۲	۷۰/۸	۳۰/۶	۵۰/۱	۵۰/۵	۸۰/۰	۶۰/۳	۳	۴	۱۰	.۲۰/۲
Pb	۲۰۸	۳۴	۴۷	۷۵	۲۷	۸۵	۹۵	۱۱۲	۴۸	۵۷	۵۵	۵	۷۲	۱۱۱	۹۶
Sb	۶۰/۱۱	۴۰/۱۵	۲۲۳۲	۲۹	۸۹/۰	۹۷/۰	۹۵/۰	۹۸/۰	۹۴	۰/۸/۱	۹۴/۰	۰/۱/۱	۰/۳/۱	۱	۹۰/۰
W	۱۷/۱	۴۰/۸	۰/۳/۱	۲۴/۱	۲۵	۲۴/۱	۱۴/۱	۳۹۵	۱۵/۱	۵۰/۶۱	۳۰/۳۶	۳۰/۱۱	۸۰/۲۱	۱۱	۵۳
Zn	۱۶	۴۲	۱۳۸۹	۱۰۷	۵۷	۱۲۶	۱۳۴	۱۳۹	۱۷۳	۱۳۹	۷۱	۲۸	۱۳۰	۱۱۷	۱۱۹

ادامه جدول ۴.

Sample	KG ۱۶	KG ۱۷	KG ۱۸	KG ۱۹	KG ۲۰	KG ۲۱	KG ۲۲	KG ۲۳	KG ۲۴	KG ۲۵	KG ۲۶	KG ۲۷	KG ۲۸	KG ۲۹
Au	۵۲	۱۰۳	۳۲۳	۶۰	۱۷۱۵	۴۵۸۹	۹۲۵	۱۴۶۷۴	۱۲	۱۰	۱۱	۴۳۷	۲۲	۲۰
Fe	۲۱۱۶۷۱	۹۸۰۵۹۳	۱۸۰۳۷۳	۲۹۸۸۸	۱۴۰۵۸۸	۲۱۸۶۳۵	۱۱۱۴۶۱	۱۷۴۴۹	۲۴۹۹۱۴	۲۸۴۷۷۴	۲۴۸۹۴۰	۴۷۷۰۸	۲۵۳۴۱۹	۱۲۹۸۶۱
Ag	۴۳۰	۴۴۰	۵۰۰	۴۲۰	۴۱۲	۸۲۰	۵۲۰	۵۰۰	۲۹۰	۳۲۰	۶۸۰	۳۶۰	۳۲۰	۳۷۰
As	۲۰/۹۱	۱۳۴	۱۱۹	۶۰/۹۵	۲۲۳	۱۷	۷۰/۷	۲۰/۱۱	۸۰/۸	۲۰/۷	۵۰/۱۹	۴۰/۱۰	۷۰/۱۷	۴۰/۱۵
Ba	۴۹۱۷	۴۰۱۳	۹۰۱۴	۲۵۸۵	۳۶۷۷	۱۱۲۰۴	۲۷۷۴	۱۰۱۹۲	۵۸	۱۳۱	۳۵۵۵	۷۴۸	۱۰۹	۲۲۱
Bi	۲۰/۴۹	۸۰/۱۸	۳۳	۴۳۰	۸۰/۹	۱۰/۵۶	۱۱	۴۰/۲۴	۵۸	۱۰۹	۷۰/۸۹	۴۸۰	۶۰/۸۱	۱۰/۲۵
Cd	۶۸/۰	۹۰۰	۷۶۰	۳۲۰	۹۱۰	۲۸۰	۲۹۰	۵۳۰	۲۹۰	۲۷۰	۲۹۰	۷۷۰	۲۷۰	۳۱۰
Cu	۲۲۷	۵۷	۲۳	۲۳	۳۸۸۶۵	۶۰	۴	۸۶	۴	۳	۱۱۹	۴۵	۳	۴
Mn	۵۹۹۰	۸۶۰۸	۱۶۳۸۱	۱۸۵۲	۱۴۵۰	۳۰۵۵۸	۱۲۵۵۴	۹۲۳۸	۱۴۲	۱۷	۲۴۵۸۷	۵۸۷۳	۸۳۲	۴۴۲
Mo	۸۰/۵	۸۰/۱۳	۶۰/۶	۴۰/۲	۴۰/۶	۸۰/۰	۸۳۰	۵۰/۱	۷۷۰	۳۰/۱	۸۰/۹	۳۰/۶	۷۰/۳	۲۰/۳
Pb	۷۹	۳۷	۷۲	۱۶	۶۸	۹۲	۳۱	۵۰	۹۱	۱۰۹	۹۲	۶	۹۲	۴۴
Sb	۰/۷۱	۱۶	۴۰/۱۳	۱۰/۱۴	۲۰/۶	۱	۹۶۰	۱۰/۱	۱	۹۱۰	۹۰/۲۸	۱۲/۱	۹۳۰	۰/۳۱
W	۱۹	۲۳/۱	۶	۲۸/۱	۹۰/۹	۴۰/۶	۲۲/۱	۲۰/۵۲	۱۲۸	۱۰/۳۳	۱۳/۱	۲۹/۱	۲۱۸	۷۰/۳۳
Zn	۱۳۱	۶۲	۱۰۵	۱۲	۳۱۱	۱۲۴	۵۱	۷۹	۱۰۵	۱۳۰	۱۴۹	۵۰	۱۱۸	۶۴

Dendrogram Using Average Linkage (Between Group)
Rescaled Distance Cluster Combine



شکل ۸. نمودار تجزیه خوش‌های داده‌های زمین‌شیمیابی کانسنسگ که در آن هم‌یافته عناصر Ag، Cu، Pb، Ba، Au، Zn، Sb، Cd، As، و Fe جالب توجه است

کاوند ثابت می‌نماید (پرتاک، ۱۳۹۶). شاید با کثرت نمونه‌ها

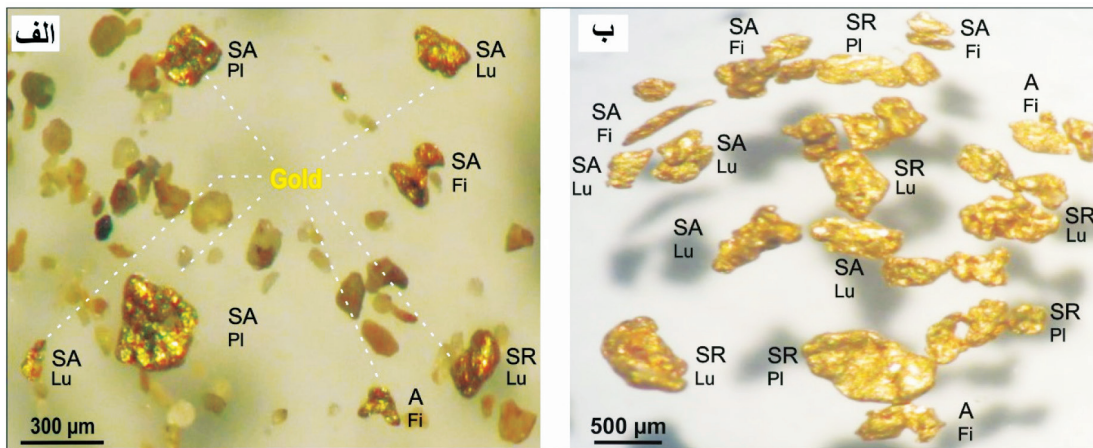
امکان رویت طلای آزاد در کانسنسگ‌های کاوند نیز میسر شود. در این تحقیق، مطالعه ترکیب شیمیابی بر روی دانه‌های طلا از بخش تغليظ یافته دو نمونه رسوبات آبراهه‌ای از محدوده کاوند انجام شده است. در این دو نمونه تعداد ۷ و ۱۵۰ ذره طلا شمارش گردید. ذرات طلای مشاهده شده دارای اشکال هماتیت، پیریت‌های هماتیتی شده و گوتیت در کانه‌زایی

ترکیب شیمیابی طلا

اگرچه در برخی از نمونه‌های کانسنسگ عبار طلا بالا است و به ۱۴/۶۰ گرم در تن می‌رسد، با وجود این در مقاطع صیقلی و نازک صیقلی طلای قابل رویت مشاهده نگردید، و شیمی کانی‌ها به روش EPMA مقداری بالای طلا را در کانه‌های هماتیت، پیریت‌های هماتیتی شده و گوتیت در کانه‌زایی

و اندازه آنها از حدود ۱۰۰ میکرون تا بیش از ۱ میلی متر تغییر می کند (شکل ۹-الف، ب).

لامپی (Lumpy)، فیلم (Film) و صفحه ای (Platy)، از نظر گردش دگی زاویه دار (Angular)، نیمه زاویه دار (Sub-rounded) و نیمه گرد شده (Sub-angular) هستند،



شکل ۹. ذرات طلای موجود در بخش تقليظ یافته دو نمونه رسوب آبراهه ای در منطقه کاوند که دارای اشكال لامپی، فیلم و صفحه ای، از نظر گردش دگی زاویه دار، نیمه زاویه دار و نیمه گرد شده و اندازه آنها از حدود ۱۰۰ میکرون تا بیش از ۱ میلی متر تغییر می کند. نمونه های رسوب در فاصله حدود ۳۰۰ متری، (الف)، ۱۵۰۰ متری، (ب) از آبراهه پایین دست ستگ های منشأ طلا برداشت شده اند

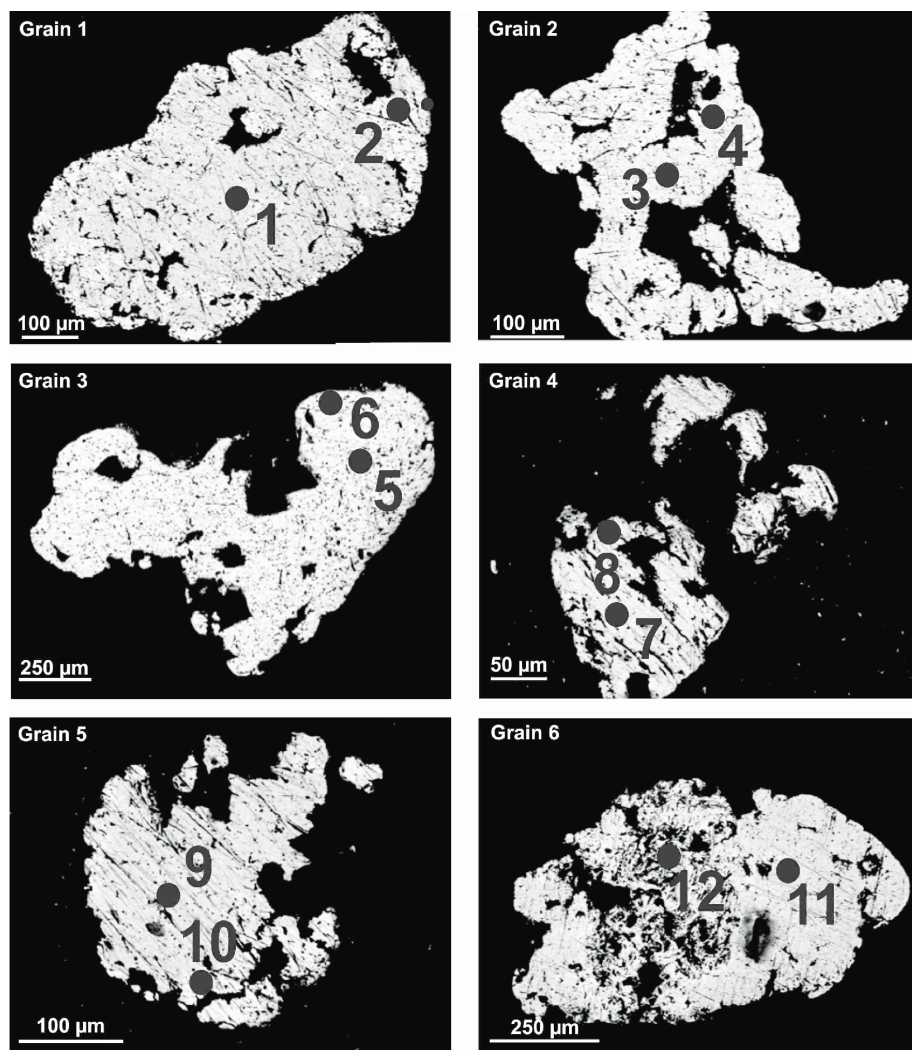
خلوص بیان می کند که ذرات طلای کاوند از سنگ های واحدی مشتق شده، و از سنگ منشأ خود زیاد فاصله نگرفته اند. ترکیب شیمیابی ذرات طلای منطقه کاوند با طلا هایی که از کانساره ای مختلف منشأ می گیرند، مورد مقایسه قرار گرفته است (Townley, 2003)، که مشابهت طلای کاوند را با کانساره ای طلای اپی ترمال ثابت می نماید (جدول ۷). در نمودار سه گانه (Au-(Ag \times 10)-(Cu \times 100)) (Palacios and Herail, 2001; Townley, 2003) نمونه های طلای کاوند در محدوده طلای اپی ترمال قرار می گیرد (شکل ۱۱-الف).

مطالعات میانباره ای سیال

در این پژوهش، مطالعه میانباره ای سیال بر روی کانی کوارتز از نمونه هایی با همیافتی کانی شناسی اکسیده ای آهن + باریت + کوارتز + طلا و کوارتز + ولفید + طلا انجام شده است. این مطالعات بر روی میانباره ای اولیه (P) با موقعیت منفرد (Isolate) و مجتمع (Cluster) در کوارتز بوده است (جدول ۸). مطالعات پتروگرافی میانباره ای های ۵۰۰ و ۸۰۰ انجام گرفته است. میانباره ای مشاهده شده غالباً به شکل های کشیده، بی شکل، چندوجهی و نامنظم با اندازه

نتایج تجزیه شیمیابی تعداد ۶ ذره طلا به روش EPMA در جدول (۵) و موقعیت نقاط میکروپریپ الکترونی بر روی هسته و حاشیه ذرات طلا در شکل (۱۰) آورده شده است. عناصر طلا، نقره و مس بخش عمده ترکیب ذرات طلای کاوند را تشکیل می دهند. مقادیر کمینه، متوسط، بیشینه و انحراف معیار طلا، نقره و مس برای بخش های حاشیه ای و هسته ذرات طلا در جدول (۶) داده شده است. داده های زمین شیمی نشان می دهد مقادیر غلظت این عناصر در نقاط حاشیه و هسته ذرات طلا متغیر است (شکل ۱۱-ب). از آنجایی که قابلیت انحلال نقره بیشتر از طلا است، در طول فرایند هوازدگی و فرسایش نقره از حاشیه ذرات شسته شده و از مقدار آن کاسته می شود، از اینرو مقدار طلا در حاشیه ذرات بیشتر از هسته آنها است.

درجه خلوص ذرات طلا با استفاده از فرمول $(Au+Au/Ag) \times 100$ محاسبه می شود، مقدار خلوص ذرات، فاصله ای حمل آنها را از سنگ های مادر نشان می دهد (Higgins, 2012). مقدار این شاخص برای ذرات طلای کاوند از ۷۴۴ تا ۹۸۶ تغییر می کند و بیانگر خلوص بالای ذرات طلای کاوند است، اما تغییر پذیری کم شاخص درجه



شکل ۱۰. موقعیت نقاط ریزکاو الکترونی بر روی هسته و حاشیه ذرات طلا از بخش تغليظ یافته رسوبات آبراهه‌ای منطقه کاوند

جدول ۵. نتایج تجزیه نقطه‌ای (برحسب درصد وزنی) تعداد ۶ دانه طلا از تغليظ یافته‌های رسوبات آبراهه‌ای منطقه کاوند به روش ریزکاو الکترونی (WDS)

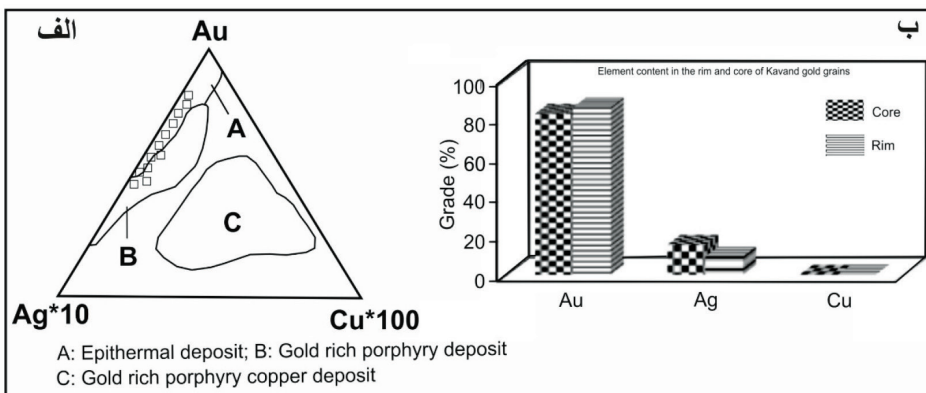
	شماره نقطه	شماره دانه طلا	Fe	Mg	Ti	Mn	Ni	Al	Si	S	Co	Cu	Zn	Ba
Grain 1	۱ هسته		۰/۰۱	•	•	•	•	•	۰/۰۷	۰/۰۷	•	۰/۰۱	•	•
	۲ حاشیه		•	۰/۰۳	۰/۰۱	•	•	•	۰/۰۶	۰/۰۶	•	۰/۰۸	•	۰/۰۲
Grain 2	۳ هسته		•	۰/۰۲	۰/۰۱	•	۰/۰۳	۰/۰۱	۰/۱	۰/۰۲	•	۰/۰۲	۰/۰۵	•
	۴ حاشیه		•	•	•	•	•	۰/۰۲	۰/۱۱	۰/۰۴	•	۰/۱	۰/۰۵	•
Grain 3	۵ هسته		۰/۰۷	•	•	•	•	۰/۰۱	۱/۴۴	۰/۰۳	•	۰/۰۶	•	•
	۶ حاشیه		۰/۰۴	۰/۰۲	۰/۰۱	•	•	۰/۰۴	۱۳/۴۱	۰/۰۷	•	۰/۰۸	•	•
Grain 4	۷ هسته		•	•	•	۰/۰۱	•	۰/۰۲	۰/۰۷	۰/۰۳	۰/۰۱	۰/۱	•	۰/۰۲
	۸ حاشیه		۰/۰۶	•	•	•	۰/۰۲	۰/۰۳	۰/۱۸	۰/۰۵	•	۰/۰۲	•	۰/۰۲
Grain 5	۹ هسته		•	۰/۰۲	•	۰/۰۱	۰/۰۱	۰/۰۲	۰/۰۵	۰/۲۹	۰/۱۲	•	۰/۰۳	•
	۱۰ حاشیه		۰/۰۲	•	۰/۰۱	۰/۰۱	•	۰/۰۸	۰/۰۳	•	۰/۰۲	۰/۰۶	•	•
Grain 6	۱۱ هسته		•	۰/۰۳	•	۰/۰۱	•	۰/۰۷	۰/۰۴	۰/۰۳	•	۰/۰۱	•	•
	۱۲ حاشیه		۰/۰۷	۰/۰۱	۰/۰۲	•	•	۰/۰۳	۰/۰۵	۰/۰۷	۰/۰۱	۰/۰۲	•	•

ادامه جدول .۵

	شماره نقطه	شماره دانه طلا	As	Mo	Ag	Cd	Sb	Te	Au	Hg	Pb	Bi	Total	درجه خلوص
۱ Grain	۱ هسته	.	.	۲۳/۸۲	.	.	۰/۰۴	۷۶	.	۰/۰۲	.	۱۰۰/۰۳	۷۶۱	
	۲ حاشیه	.	.	۱۹/۸۹	۰/۱۴	.	۰/۰۴	۷۸/۹۲	.	۰/۰۱	.	۹۹/۲۶	۷۹۹	
۲ Grain	۳ هسته	.	.	۱۴/۷۳	.	.	۰/۰۳	۸۵/۶۴	.	.	.	۱۰۰/۶۴	۸۵۳	
	۴ حاشیه	.	.	۹/۰۶	.	.	.	۸۹/۴۷	.	.	.	۹۸/۷۵	۹۰۸	
۳ Grain	۵ هسته	۰/۰۱	۰/۰۱	۲/۲۹	۰/۰۵	.	.	۹۴/۱۷	.	.	.	۹۸/۱۴	۹۷۶	
	۶ حاشیه	.	.	۱/۱۶	۰/۰۱	۰/۰۲	.	۷۸/۹۴	.	۰/۰۶	.	۹۳/۸۶	۹۸۶	
۴ Grain	۷ هسته	.	۰/۰۲	۷/۶۶	۰/۰۴	.	.	۸۴/۲۱	.	.	.	۹۲/۰۸	۹۵۳	
	۸ حاشیه	۰/۰۱	.	۴/۴۱	۰/۰۳	۰/۰۲	.	۸۹/۷۵	.	.	.	۹۴/۵۸	۹۱۷	
۵ Grain	۹ هسته	.	۰/۰۴	۱۷/۸۵	۰/۰۹	۰/۰۳	.	۷۸/۸۳	.	.	.	۹۷/۳۶	۹۰۸	
	۱۰ حاشیه	.	.	۱۲/۳۴	۰/۰۲	.	.	۸۷/۲۶	.	۰/۰۲	.	۹۹/۸۵	۷۴۴	
۶ Grain	۱۱ هسته	.	۰/۰۶	۲۵/۵۵	۰/۰۸	.	۰/۰۵	۷۴/۱۳	۰/۱۳	.	.	۱۰۰/۱۸	۸۱۵	
	۱۲ حاشیه	.	.	۸/۹۴	۰/۰۱	.	۰/۰۱	۸۷/۸	.	.	.	۹۹/۲۲	۸۷۶	

جدول ۶. مقادیر کمینه، بیشینه و میانگین طلا، نقره و مس در هسته و حاشیه دانه‌های طلا از آبرفت‌های کاوند

عنصر	تعداد دانه طلا	میانگین	کمینه	بیشینه	انحراف معیار
منطقه حاشیه					
Au (%)	۶	۸۲/۱۶	۷۴/۱۳	۸۴/۲۱	۷/۴۰
Ag (%)	۶	۱۵/۳۲	۲/۲۹	۲۵/۵۵	۹/۰۸
Cu (%)	۶	۰/۰۲	۰/۰۱	۰/۰۳	۰/۰۲
منطقه هسته					
Au (%)	۶	۸۵/۳۶	۷۸/۹۲	۸۹/۷۵	۵/۰۷
Ag (%)	۶	۹/۳۰	۱/۱۶	۱۹/۸۹	۶/۵۱
Cu (%)	۶	۰/۰۵	۰/۰۲	۰/۱۰	۰/۰۴



شکل ۱۱. ترکیب شیمیایی ذرات طلای کاوند. (الف) نمودار سه‌گانه (Ag $\times 10$)-(Cu $\times 100$)-Au. (ب) نمونه‌های طلای منطقه کاوند در بخش طلای اپیترمال قرار می‌گیرد (Palacios and Herail, 2001; Townley, 2003)؛ (ب) نمودار ستونی توزیع طلا، نقره و مس در مرکز و حاشیه دانه‌های طلای کاوند

جدول ۷. مقایسه ترکیب شیمیایی دانه‌های طلای منطقه کاوند به روش ریزکاوالکترونی (EPMA)، با دانه‌های طلاهایی که از کانسارهای مختلف منشأ می‌گیرند (Townley, 2003)

کانسار	طلای اپیترمال	مس-طلای پورفیری	مس-طلای پورفیری	کانه‌زایی طلای کاوند
Cu	مقدار مس پایین (معمولًاً کمتر از ۱/۰ درصد)	۰/۰ تا ۰/۸ درصد	۰/۰ تا ۰/۳ درصد	۰/۰ تا ۱/۰ درصد (متوسط ۰/۰۴ درصد)
Ag	مقدار نقره بالا (بیشتر از ۵ درصد)	مقدار نقره پایین (کمتر از ۵ درصد)	مقدار نقره پایین (کمتر از ۵ درصد)	۱/۱۶ تا ۲۵/۵۵ درصد (متوسط ۱۲/۳۱ درصد)
Au	مقدار طلا بالا (بیشتر از ۷۰ درصد)	۰/۵ تا ۸ درصد	۱ تا ۶ درصد	۷۴/۱۳ تا ۹۴/۱۷ درصد (متوسط ۸۳/۷۶ درصد)

شدن، چگالی سیالات موثر در سیستم‌های کانه‌زایی را می‌توان تعیین نمود (Bodnar, 1983). چگالی میانبارهای سیال کانه‌زایی کاوند از لحظه دما و شوری در دامنه ۰/۵ تا ۱ گرم بر سانتی مترمکعب قرار می‌گیرد (شکل ۱۳-ب). میزان فشار نیز برای سیالات درگیر منطقه کاوند کمتر از ۲۰۰ اتمسفر است. با توجه به نمودار تعیین تیپ کانه‌زایی (Wilkinson, 2001)، داده‌های میانبارهای سیال منطقه کاوند در محدوده کانسارهای ابی ترمال قرار می‌گیرد (شکل ۱۳-پ)، و روند داده‌های میانبارهای سیال حکایت از سرد شدن عادی سیال و اختلاط سیال ماقمایی و جوی دارد (شکل ۱۳-الف). در نمودار عمق-دما و شوری میانبارهای سیال، نمونه‌های کاوند با میانگین درجه حرارت ۲۷۷/۸۴ درجه سانتی گراد و میانگین شوری ۳/۶۷ درصد وزنی معادل درجه سانتی گراد و میانگین شوری ۷۰۰ متری را نشان می‌دهد. نبود ساخت و بافت برشی در منطقه کاوند عدم رخداد جوشش را در طول تشکیل کانه‌زایی نشان می‌دهد (شکل ۱۳-ب).

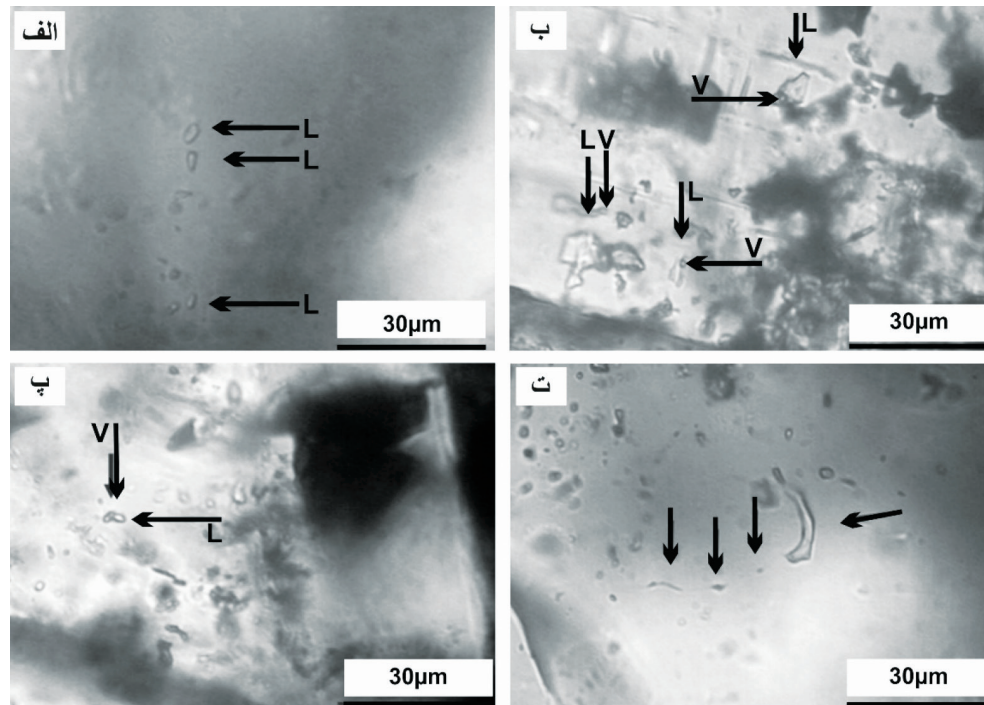
۴ تا ۱۸ میکرومتر که فراوان ترین آنها از ۵ تا ۸ میکرومتر مشاهده شده است. براساس مطالعات پتروگرافی، میانبارهای اولیه و ثانویه در نمونه مشاهده گردید که در عکس‌ها نیز به خوبی قابل تشخیص هستند. بر مبنای تقسیم‌بندی‌های شفرد و همکاران (Shepherd et al., 1985)، میانبارهای از نوع دو فازی مایع+بخار (L+V) و تک فازهای مایع (L) تشخیص داده شد، و هیچ‌گونه شاهدی از حضور فاز نوزاد (S) یا CO_2 یا (LCO_2) مشاهده نشده است (شکل ۱۲). پدیده باریک‌شدگی نیز تشخیص داده شد که مورد مطالعه ریزدماسنجی قرار نگرفت (شکل ۱۲-ت). تغییرات دمای همگن شدن در میانبارهای دو فازی مایع و بخار در محدوده ۱۶۰ تا ۴۰۳ درجه سانتی گراد (میانگین ۲۷۷/۸۴ درجه سانتی گراد) به دست آمد. تغییرات دمای ذوب‌نهایی بین -۰/۵ تا ۳/۵ درجه سانتی گراد برابر شوری ($T_{mice}^{\circ}\text{C}$) بین ۰/۵ تا ۳/۵ درجه سانتی گراد نمک طعام به دست آمد. ۶۰ الی ۵/۸۶ درصد وزنی معادل نمک طعام به دست آمد. براساس نمودارهای ارائه شده بر پایه شوری و دمای همگن

جدول ۸. اندازه‌گیری‌های ریزدماسنجی میانبارهای سیال اولیه بر روی کوارترهای همزاد کانه‌زایی منطقه کاوند

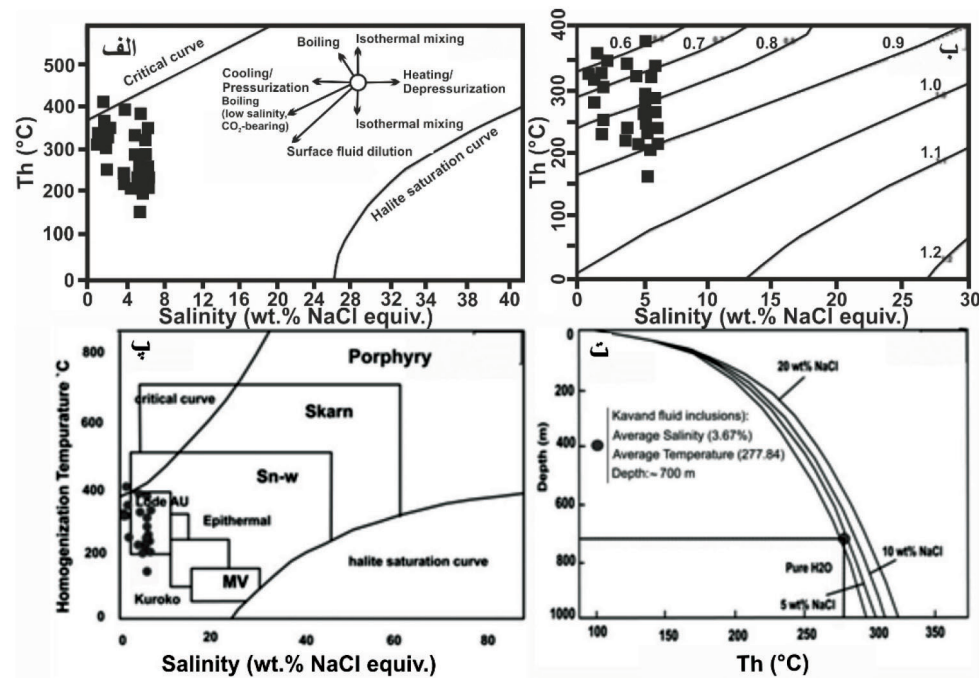
تعداد	۱	۲	۳	۴	۵	۶	۷	۸	۹	۱۰	۱۱
نوع میانبار سیال	LV										
(اندازه) (μm)	۷	۵	۱۲	۹	۷	۷	۵	۵	۴	۶	۸
$T_{m_{ice}}^{\circ}\text{C}$	-۲/۵	-۲	-۱	-۰/۹	-۰/۸	-۰/۹	-۰/۸	-۰/۸	-۰/۹	-۲	-۳/۱
Salinity (wt%. NaCl)	۴/۲۴	۳/۳۹	۱/۵۷	۱/۳۸	۱/۱۹	۱/۳۸	۱/۱۹	۱/۱۹	۱/۳۸	۳/۳۹	۵/۲۲
ThLV (°C)	۲۲۶	۲۳۳	۳۵۰	۳۵۴	۴۰۳	۳۰۵	۳۲۰	۲۸۱	۲۳۰	۲۲۶	۲۲۲

تعداد	۱۲	۱۳	۱۴	۱۵	۱۶	۱۷	۱۸	۱۹	۲۰	۲۱	۲۲
نوع میانبار سیال	LV										
(اندازه) (μm)	۹	۸	۸	۶	۷	۱۲	۶	۶	۷	۸	۵
$T_{m_{ice}}^{\circ}\text{C}$	-۱	-۳	-۳/۵	-۳/۵	-۳	-۳/۱	-۳/۲	-۳	-۲	-۳	-۰/۵
Salinity (wt%. NaCl)	۱/۵۷	۵/۰۷	۵/۸۶	۵/۸۶	۵/۰۷	۵/۲۳	۵/۳۹	۵/۰۷	۳/۳۹	۵/۰۷	۰/۶
ThLV (°C)	۲۵۰	۲۸۵	۲۳۸	۲۱۴	۲۵۵	۲۰۸	۲۶۱	۲۴۰	۳۸۵	۳۸۰	۳۳۰

تعداد	۲۳	۲۴	۲۵	۲۶	۲۷	۲۸	۲۹	۳۰	۳۱
نوع میانبار سیال	LV								
(اندازه) (μm)	۷	۸	۶	۱۵	۸	۸	۸	۸	۶
$T_{m_{ice}}^{\circ}\text{C}$	-۰/۵	-۳/۵	-۳/۲	-۲	-۳/۱	-۲/۶	-۲	-۳	-۳
Salinity (wt%. NaCl)	۰/۶	۵/۸۶	۵/۳۹	۵/۰۷	۵/۲۳	۴/۴۱	۳/۳۹	۵/۰۷	۵/۰۷
ThLV (°C)	۳۱۹	۲۳۹	۲۸۷	۲۸۰	۲۳۵	۲۱۲	۲۲۵	۱۶۰	۱۶۰



شکل ۱۲. پتروگرافی میانبارهای سیال کانی کوارتز. (الف) میانبارهای سیال تک فازی غنی از مایع (L)، ب و پ) میانبارهای سیال دو فازی مایع و بخار (L+V)، ت) پدیده باریک شدگی میانبارهای سیال در کوارتز

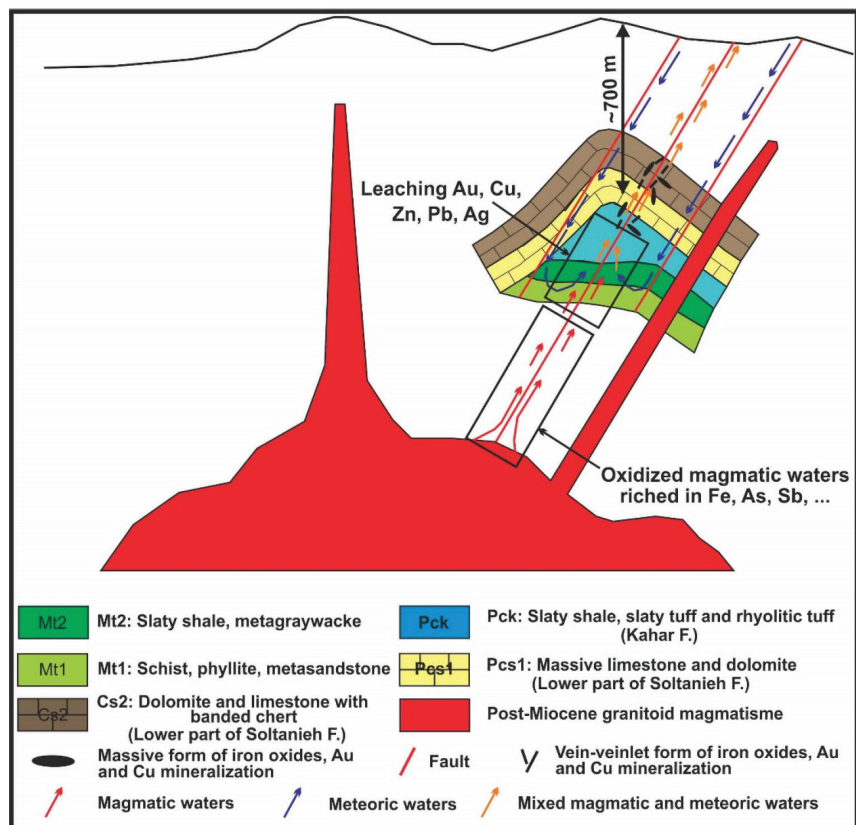


شکل ۱۳. نتایج اندازه‌گیری میانبارهای سیال منطقه کاوند. (الف) تغییرات درجه حرارت در برابر شوری بیان از سرد شدن عادی و اختلاط سیالات ماقمایی و جوی دارد (Shepherd et al., 1985)، (ب) نمودار تعیین چگالی میانبار سیال بر حسب دمای همگن شدن و شوری (Bodnar, 1983)، نمونه‌های کاوند دارای چگالی کمتر از ۱ گرم بر سانتی‌متر مکعب هستند، پ) نمودار تعیین تیپ کانه‌زائی براساس شوری و دمای همگن شدن (Wilkinson, 2001)، که نمونه‌های کاوند در محدوده کانسراهای ابی ترمال قرار می‌گیرند، ت) نمودار عمق-دما و شوری میانبارهای سیال، که بر اساس میانگین شوری و دما، عمق تشکیل کانه‌زائی بیش از ۷۰۰ متر است

ژنز و نحوه تشکیل کانه‌زایی

سلطانیه را قطع می‌کنند. این گسل‌ها با زاویه شیب ۵۰ تا ۷۵ درجه دارای جهات امتداد NW-SE و E-W هستند، و کانه‌زائی بیشتر به وسیله روندهای گسلی NW-SE کنترل می‌گردد. اشکال کارستی، مناطق دگرسانی و کانه‌زائی نیز دارای جهت NW-SE می‌باشند. اگرچه گسل‌ها اغلب نرمال هستند، برخی گسل‌های امتداد لغز با جهت NE-SW نیز ثبت شده است (شکل ۲). ضمن بالا آمدن محلول از میان معبرهای گسلی به دلیل کاهش فشار ایستایی و برخورد سیال گرمابی فلزدار با سنگ‌های کربناتی (سازندهای سلطانیه و باروت) به تدریج گازهای CO_2 , H_2S و HCl شروع به ظاهر شدن در محلول می‌کنند. عمقی که گازها شروع به ظاهر شدن می‌کنند تابع غلظت گازها و مقدار املاح محلول است. ظهر گازهای CO_2 و H_2S موجب افزایش pH محلول و در نتیجه باعث ناپایداری کمپلکس‌های کلریدی گردیده و مس، سرب، روی و نقره به صورت سولفید بر جای گذاشته خواهند شد. شرایط اساسی در ناپایداری کمپلکس‌های بی‌سولفید طلا، آرسنیک، جیوه و آنتیموان را می‌توان کاهش سریع H_2S محلول، کاهش درجه حرارت، و افزایش pH نام برد. نتایج مطالعه میانبارهای سیال نیز سردشدن عادی سیال و اختلاط سیالات ماقمایی و جوی را تایید می‌نماید. بنابراین، فعالیت‌های ماقمایی و گرمابی، اشکال زمین‌ساختی (گسل‌ها و درزهای)، فضاهای کارستی و جنس سنگ‌های میزبان مسئول کانه‌زایی کاوند بوده‌اند (شکل ۱۴). ویرگی‌های مهم کانسار طلای کاوند با برخی از کانسارهای طلا در ایران و جهان مقایسه شده است (جدول ۹). اگرچه، کانه‌زایی کاوند از جهاتی مانند جنس سنگ میزبان مشابه کانسارهای طلای نوع کارلین است، ولی با توجه به هم‌یافته‌های عنصری و کانیایی، دگرسانی، شکل کانه‌زایی، عیار بالای طلای کانسنگ، ذرات درشت و قابل رویت طلا در رسوبات آبرفتی و سن تشکیل شباهت‌های زیادی با کانسارهای طلای رگهای اپی‌ترمال با سنگ میزبان رسوبی (به عنوان مثال کانسار طلای آق دره) دارد.

منطقه کاوند بخشی از ایران مرکزی است و قدیمی‌ترین سازندهای زمین‌شناسی منصوب به پرکامبرین پسین است. در این منطقه و مناطق هم‌جوار در محور تکاب-زنجان از زمان اولیگوسن توده‌های نفوذی با ترکیب گابرو‌دیوریت، دیوریت پورفیری، کوارتز پورفیری، گرانیت و گرانو‌دیوریت در سازندهای قدیمی‌تر نفوذ کرده‌اند (باباخانی و صادقی، Stöcklin and Eftekharnezhad, 1969؛ Mehrabi et al., 1999؛ Asadi, 2000؛ Daliran, 2002؛ Mehrabi et al., 2003؛ Boni et al., 2007؛ Daliran, 2008؛ Heidari et al., 2015 منطقه کاوند، سیال ماقمایی اکسیدی غنی از آرسنیک، آنتیموان، و آهن به طور مستقیم از فعالیت‌های ماقمایی پس از الیگومیوسن منشاء می‌گیرد. این سیال باید به طور بخشی احیاء شود تا طلا و عناصر همراه (مس، سرب، روی و ...) را از سنگ‌های مسیر شستشو دهد. سنگ‌های دگرگونی پرکامبرین پسین (فیلیت، کوارتزیت، میکاشیست، شیل و ماسه‌سنگ اسلیتی)، و توف ریولیتی، توف اسلیتی و شیل‌های غنی از مواد آلی سازند که هر، سنگ‌های منشاء عناصر طلا، مس، سرب و روی در این منطقه هستند. طلا، آرسنیک، جیوه و آنتیموان در محلول‌های گرمابی در حرارت پایین بیشتر به صورت کمپلکس‌های بی‌سولفید حمل می‌شوند، اما مس، نقره، سرب، آهن و روی عمدتاً به صورت کمپلکس‌های کلریدی حمل می‌شوند. محلول گرمابی فلزدار از طریق شکستگی‌ها (گسل‌ها و درزهای) و مناطق نفوذ‌پذیر صعود می‌نمایند. داده‌های زمین‌شناسی ساختمانی در منطقه کاوند پیشنهاد می‌نماید که سری از گسل‌ها و درزهای نرمال نیمه‌موازی سنگ‌های دولومیت



شکل ۱۴. مدل شماتیکی برای تکوین کانه‌زایی طلای کاوند. نقش سیال ماقمایی مرتبط با ماقماتیسم پس از الیگومیوسن، سیالات جوی، گسل‌ها، سنگ‌های منشاء (Mt1، Mt2 و Pck) و سنگ‌های کربناتی میزبان (Cs2 و Pcs1) در تشکیل کانه‌زایی نمایان است

جدول ۹. مقایسه ویژگی‌های زمین‌شناسی و کانه‌زایی کانسار طلای کاوند با برخی از کانسارهای طلای ایران و جهان

نام کانسار	کانه‌زایی مس-طلای	کانسار طلا (آرسنیک)	کانسار طلا-نقره (مس) توzer	قاضی‌کندی	کانسار طلای کاوند	تیپ کانسار
کانسار آقدره	کانسار طلا ریتمال با سنگ میزبان	کانسار طلا نقره (مس) توzer	کانسار طلا-نقره (مس) توzer	IOCG	کانه‌زایی مس-طلای	ابی‌ترمال با سنگ میزبان
سنگ‌اهک	ابی‌ترمال با سنگ میزبان	ابی‌ترمال سولفید بالا	ابی‌ترمال با سنگ میزبان	کربناتی	کانه‌زایی	کربناتی
الیگومیوسن	رسوبی	رسوبی	گدازه و سنگ‌های آذرآواری	آلکالی گرانیت نوع A	سنگ‌های دolumیتی سلطانیه	جنس سنگ میزبان
محیط‌های کششی	سنگ‌های کربناتی-آواری و شیل‌های سیاه	سنگ‌های کربناتی-آواری و شیل‌های سیاه	با ترکیب آندرزیت تا	داکیت‌های بایمدال (ربولیتی)	گدازه و سنگ‌های آذرآواری	سنگ‌های میزبان
دگرسانی‌های همراه	میکرو‌دیبوریتی	ترکیت و توده‌های نفوذی	ترکیت و توده‌های نفوذی	دیابازی	کربناتی	محیط‌های کششی
دانه‌سازی	پرکامبرین بالایی	پرکامبرین بالایی	پرکامبرین بالایی	پرکامبرین بالایی	پرکامبرین بالایی	پرکامبرین بالایی
خشک‌سازی	سیلیسی شدن، کربناتی شدن، آرژیلیک	سیلیسی شدن، کربناتی شدن، آرژیلیک	سیلیسی شدن، کربناتی شدن، آرژیلیک، فیلیک، پروپیلمیتک، آرژیلیک، فیلیک، سرسیتی، کربناتی سرسیتی، آرژیلیک پیشرفت، سیلیسی شدن	سیدن، آرژیلیت، و اکسید	سیدن، آرژیلیت، و اکسید	سیدن، آرژیلیت، و اکسید
خشک‌سازی	رگه-رگچه‌ای، برشی شدن، برشی، رگه-رگچه‌ای، توده‌ای، رگه‌ای، توده‌ای، برشی در شکستگی‌ها، رگه-رگچه، عدسی	به صورت پراکنده یا تمرکز افشار	رگه-رگچه‌ای، برشی شدن، برشی، رگه-رگچه‌ای، توده‌ای، رگه‌ای، توده‌ای، برشی افشار	رگه-رگچه‌ای، برشی شدن، برشی، رگه-رگچه‌ای، توده‌ای، رگه‌ای، توده‌ای، برشی افشار	رگه-رگچه‌ای، برشی شدن، برشی، رگه-رگچه‌ای، توده‌ای، رگه‌ای، توده‌ای، برشی افشار	رگه-رگچه‌ای، برشی شدن، برشی، رگه-رگچه‌ای، توده‌ای، رگه‌ای، توده‌ای، برشی افشار

ادامه جدول ۹.

نام کانسار	کانسار طلای کاوند	قاضی‌کندی (شمال شرق هشود)	کانسار طلا-نقره (مس) نوزلار زرسوران	کانسار طلا (آرسنیک)	کانسار آقدره
کانه‌های کانسار	پیریت، کالکوپیریت، طلا، اسپکولاریت، هماتیت، آزوریت، کربزوکولا، هماتیت، اسپکولاریت، گوتیت، لیمونیت	کالکوپیریت، کالکوپیریت، پورنیت، کولیت، مالاکیت، آزوریت، استینینت، آسفالولیت، کالکوپیریت، کوبالتیت، آزوریت، دیزنت، تترادریت، گالان، طلا، اسپکولاریت، نترادریت، دیزنت، باریت، کوارتز، کلستیت، و گاهی کوارتز	پیریت، کالکوپیریت، رالگار، اوریپیمنت، سیتابر، طلا، اوریپیمنت، آزوریت، استینینت، آسفالولیت، کالکوپیریت، کوبالتیت، آزوریت، اکسیدهای آهن، باریت، و کوارتز	پیریت، آرسنوبیریت، رالگار، اوریپیمنت، سیتابر، طلا، اوریپیمنت، آزوریت، استینینت، آسفالولیت، کالکوپیریت، کوبالتیت، آزوریت، دیزنت، تترادریت، گالان، طلا، اسپکولاریت، نترادریت، دیزنت، باریت، کلستیت، و گاهی کوارتز	پیریت، آرسنوبیریت، رالگار، اوریپیمنت، سیتابر، طلا، اوریپیمنت، آزوریت، استینینت، آسفالولیت، کالکوپیریت، کوبالتیت، آزوریت، دیزنت، تترادریت، گالان، طلا، اسپکولاریت، نترادریت، دیزنت، باریت، و کوارتز
کانه‌های باطله	رگه-رگچهای، عدسی، برشی، دانه‌پراکنده، کلوفرمی، باقیمانده، اسفلولیتی، و جانشینی	رگه-رگچهای، پراکنده، فضاهای خالی، پراکنده، و خالی، و جانشینی	رگه-رگچهای، دانه پراکنده، فضاهای خالی، پراکنده، و خالی، و جانشینی	فضاهای خالی، پراکنده، و خالی، و جانشینی	فضاهای خالی، پراکنده، و خالی، و جانشینی
عنصر معرف و ردیاب	Au, Fe, Cu, Ba, Sb, s, Hg, Zn, Pb, Ag	U, Li, K, Mo, Rb, W, P, Ba, REE	As, Sb, Hg, Te, Se, Th, Ba, Zn, Ag, Cd, Bi, Pb, Cu	Au 10 ppm	Au 3.7-24.5 ppm; Fe 0.66-26.8 %; Cu 0.04-0.53 %
عیار عناصر	Fe,Cu,Au	Ave.: Fe 15.7 %; Au 1.3 ppm; Cu 0.6 %	Fe >20% Au 0.01-10 ppm; Cu 2-8 %;	در ارتباط با پهنه‌های گسلی (عادی و امتداد لغز) و حفرات سنگ‌های کربناتی	گسل‌های عمیق، رانگی، عادی و مورب لغز
نقش کنترل	کننده‌های	در ارتباط با پهنه‌های گسلی (عادی و امتداد لغز) و زون برشی، خردشگی در واحدهای وکانیکی و گرایت	کانه‌زایی در یک مجموعه آتش‌شانی-نمیمه آتش‌شانی (عادی و امتداد لغز) و حفرات سنگ‌های کربناتی	کانه‌زایی در یک مجموعه آتش‌شانی-نمیمه آتش‌شانی (عادی و امتداد لغز) و حفرات سنگ‌های کربناتی	
کننده‌های	چیه‌شناسی و ساختاری در کانه‌زایی	تشکیل شده است	کانه‌زایی در یک مجموعه آتش‌شانی-نمیمه آتش‌شانی (عادی و امتداد لغز) و حفرات سنگ‌های کربناتی	کانه‌زایی در یک مجموعه آتش‌شانی-نمیمه آتش‌شانی (عادی و امتداد لغز) و حفرات سنگ‌های کربناتی	
همراهی کانه‌زایی با نودهای آذین (ماگماتیسم)	درجه حرارت و شوری سیال کانه‌ساز	گرانیتوئیدهای (دبوریت-گابرو و فرو گابرو) الیگومیوسن دایک‌های مافیک و فاسیک	گرانیتوئیدهای (گرانو-دبوریت، دبوریت-گابرو و فرو گابرو) میوسن و گرانیتوئیدهای الیگومیوسن	سنگ‌های آندزیتی و ریولیتی میوسن و گرانیتوئیدهای الیگومیوسن	
منابع	% NaCl	403-160 °C, 3.67 wt % NaCl	داده‌ای موجود نبود	داده‌ای موجود نبود	
تیپ کانسار	IOG	کانسار طلای کوهز تربت	کانسار طلای نوع کارلین (نوادا)	کانسار مس-طلای Guelb Moghrein (مریتانی) ernecke, Yukon	
نام کانسار	حیدریه	کانسار طلای کوهز تربت	کانسار مس-طلای (نوادا)	کانسار مس-طلای et al. (2000); Mehrabi et al. (1999); Mehrabi et al. (2003)	
تحقيق حاضر	روسوی	کانسار طلای کوهز تربت	کانسار طلای نوع کارلین (نوادا)	Daliran (2008)	
منابع	جنس سنگ میزبان سنگ‌های آتش‌شانی و نفوذی اسیدی تا حد وسط اثوسن-الیگومیوسن ماقمانتیسم در حاشیه قاره، و یا زون فروزانش سیلیسی شدن	کانه‌زایی با سنگ میزبان در پیکره متاکربنات (سنگ کربناتی دگرگونه) سنگ آهک پراکنده سیلولین-دونین ریفت حاشیه قاره کربناتی شدن، آرژیلیکی، سیلیسی شدن رگه‌ای، داریستی، برش‌های برشی، رگه-رگچهای رگه‌ای، داریستی، برش‌های برشی، رگه-رگچهای رگه‌ای، پراکنده اسپکولاریت، کالکوپیریت، پیریت، کالکوپیریت، هماتیت، آرسنوبیریت، آسفالولیت، گالان، مارکاسیت، مگنتیت، آنکریت اکسیدهای آهن، رالگار، بورنیت، پیروتیت، آرسنوبیریت گرافیت، الکتروم، سیدریت کربنات، کلستیت، کوارتز، و سریسیت سیدریت، و کلریت	سنگ‌های آهک و ماسه سنگ‌های کربناتی سیلولین-دونین ریفت حاشیه قاره کربناتی شدن، آرژیلیکی، سیلیسی شدن رگه‌ای، داریستی، برش‌های برشی، رگه-رگچهای رگه‌ای، پراکنده اسپکولاریت، کالکوپیریت، پیریت، کالکوپیریت، هماتیت، آرسنوبیریت، آسفالولیت، گالان، مارکاسیت، مگنتیت، آنکریت اکسیدهای آهن، رالگار، بورنیت، پیروتیت، آرسنوبیریت گرافیت، الکتروم، سیدریت کربنات، کلستیت، کوارتز، و سریسیت سیدریت، و کلریت		

ادامه جدول .۹

نام کانسار	کانسار طلا کاوند	کانسار طلا-نقره (مس) توزلار	کانسار طلا (آرسنیک) زرسوران	کانزار آقدره
کانه‌زائی مس-طلا	کانه‌زائی	کانه‌زائی	کانه‌زائی	کانه‌زائی
بافت شانهای، لایه‌ای، برشی، پرکننده فضاهای خالی، رگه-رگچهای، برشی، پرکننده، رگه-رگچهای، جانشینی، رگه-رگچهای	فشهای خالی	فشهای خالی	فرجهای، جانشینی	فرجهای، جانشینی
عنصر معرف و ردیاب	Ag, Bi, Co, REE, Ni	U, Co, Mo	As, Sb, Hg, Tl, Te, Cu,	As, Sb, Hg, Tl, Te, Cu,
کانه‌زائی	Pb, Mo, Zn, Mn, Bi,	Au, Ag, Pb, Zn, Ba,	Ni, Cu, Ag	Ni, Cu, Ag
کانه‌زائی	W, Fe, Bi	W, Fe, Bi	عیار عنصر	عیار عنصر
کانه‌زائی	8.8-23.3 %	8.8-23.3 %	Fe, Cu, Au	Fe, Cu, Au
نقش کنترکننده‌های کانی‌سازی در زون‌های گسلی	در طول گسل‌ها و محور چین	گسل عادی	در راستای لغزشی در درون و ساختاری در سنگ‌های آتشفشنانی و نفوذی	در راستای لغزشی در درون و ساختاری در سنگ‌های آتشفشنانی و نفوذی
هرماهی کانی‌سازی با توده‌های آذرین (ماگماتیسم)	سنگ‌های آتشفشنانی آندزیتی و روپولیتی	داده‌ای موجود نبود	داده‌ای موجود نبود	داده‌ای موجود نبود
درجه حرارت و شوری سیال کانه‌ساز	داده‌ای موجود نبود	180-240 °C; 2-3 wt. % NaCl 42-24	430-468 °C; 295-335 °C; 210-270 °C; 235-256 °C	(میزان شوری سیال: داده‌ای موجود نبود)
منابع	Kirschbaum and Itzman (2016)	Hunt et al. (2007)	Cline et al. (2005)	مظلومی و همکاران (۱۳۸۷)

نتیجه‌گیری

ماگماتیسم پس از الیگومیوسن در ناحیه تکاب-زنجان طلا از ترکیب کانی‌های سولفیدی و اکسیدی اولیه، سبب افزایش مقدار طلا در کانسنگ و تمرکز طلا کاوند آزاد در رسوبات آبرفتی منطقه کاوند شده است. کانه‌زایی طلا کاوند بخشی از سیستم اپیترمال مرتبط با کمان ماگماتی ستوزوئیک در ناحیه زنجان-تکاب است، که در سنگ میزبان کربناتی رخ داده است.

سپاسگزاری

نگارندهای مقاله از سازمان ایمیدرو که بخشی از تجزیه‌های شیمیایی، مطالعه میانبارهای سیال و تجزیه‌های ریزکاوالکترونی را انجام داده‌اند، سپاسگزاری می‌نمایند. از سازمان صنعت، معدن و تجارت استان زنجان و بهویژه آقای مهندس حقیقت که با انجام پژوهش در محدوده کاوند موافقت نموده و امکانات انجام کارهای صحرابی و اسکان را فراهم نمودند، تشکر صمیمانه دارند. از دانشکده علوم زمین دانشگاه صنعتی شاهرود که بستر و محیط مناسبی را برای انجام پژوهش آماده کرده‌اند، قدردانی می‌شود. از

فعالیت‌های گرمابی گستردگی را سبب شده، و کانه‌زائی طلا در سنگ میزبان‌های مختلف از جمله سنگ‌های کربناتی-آواری پرکامبرین پسین در منطقه کاوند را تشکیل داده است. سیال گرمابی اکسیدی با منشاء ماگماتی از طریق شکستگی‌های نرمال بالا آمده، و با آبهای جوی مخلوط می‌شود. این سیال طلا و عنصر هرماه را از سنگ‌های دگرگونی پرکامبرین پسین شستشو می‌دهد. برخورد سیال گرمابی فلزدار با سنگ‌های کربناتی پرکامبرین پسین، موجب افزایش pH، کاهش H_2S و درجه حرارت محلول، ناپایداری کمپلکس‌ها و منجر به کانه‌زائی می‌شود. مرحله ابتدائی هیبوژن کانه‌زایی با تشکیل گستردگی کوارتز، باریت، سولفید و طلا هرماه است که در مرحله بعدی با مقادیر زیادی از اسپکیولاریت و هماتیت دنبال می‌گردد. اکسیداسیون کانی‌های سولفیدی و اکسیدی اولیه در مرحله سوپرژن سبب تشکیل اکسی‌هیدروکسیدهای آهن-منگنز و کانی‌های ثانویه مس شده است. فرآیند اکسیداسیون با آزادسازی

neider, J., Allen, C.R. and Moore F., 2007. Hydrogene Zn carbonate ore in the Angouran deposit, NW Iran, Mineralium Deposita, 42, 799-820.

- Cline, J.S., Hofstera, A.H., Muntean, J.L., Tosdal, R.M. and Hickey K.A. 2005. Carlin-type gold deposits in Nevada: critical geologic characteristics and viable models. Society of Economic Geologists, Inc. Economic Geology, 100th Anniversary Volume, 451-484.

- Cox, K.G., Bell, J.D. and Pankhurst R.J., 1979. The Interpretation of Igneous Rocks, George, Allen and Unwin, London, 445.

- Daliran, F., Hofstra, A.H., Walter, J. and Stuben D., 2002. Agdrreh and Zarshouran SRH-DG deposits, Takab region, NW Iran, GSA Annual Meeting, Abstr with Prog, Session 68-8.

- Daliran, F., 2008. The carbonate rock-hosted epithermal gold deposit of Agdarreh, Takab geothermal field, NW Iran-Hydrothermal alteration and mineralization, Mineralium Deposita, 43, 383-404.

- Flood, P.G. and Chivas A.R., 1995. Origin of massive dolomite, Leg 143, Hole 866A, Resolution Guyot, Mid-Pacific Mountains: in Winterer, E.L., Sager, W.W., Firth, J.V., and Sinton, J.M.(eds.), Proc. ODP, Sci. Result, 143, 161-170.

- Gill, J.B., 1981. Orogenic andesites and plate tectonics, Mineral and Rocks Berlin, Heidelberg, New York, Springer, 16, 390.

- Goss, A.R. and Kay S.M., 2009. Extreme high field strength element (HFSE) depletion and near-chondritic Nb/Ta ratios in Central Andean adakite-like lavas (28° S, 68° W), Earth and Planetary Science Letters, 279, 97-109.

- Heidari, S.M., Daliran, F., Paquette, J.L. and Gasquet D., 2015. Geology, timing, and

دست‌اندرکاران فصلنامه زمین‌شناسی ایران و داورانی که ارزیابی مقاله حاضر را قبول می‌فرمایند، تشرک می‌شود.

منابع

- آدابی، م.ح.، ۱۳۹۰. ژئوشیمی رسوبی، انتشارات آرین زمین، چاپ دوم، ۵۰۴.
- باباخانی، ع.ر. و صادقی، خ.، ۱۳۸۳. گزارش و نقشه زمین‌شناسی ورقه زنجان، سری ۱/۱۰۰۰۰۰، شماره ۵۶۶۳، سازمان زمین‌شناسی و اکتشافاتمعدنی کشور.
- پرتاک، ن.، ۱۳۹۶. کانی‌شناسی، ژئوشیمی و خاستگاه کانه‌زایی اکسیدهای آهن-طلای-مس در منطقه کاوند، جنوب باخته زنجان، پایان‌نامه کارشناسی ارشد، دانشکده علوم زمین، دانشگاه صنعتی شاهروд، ۱۷۰.
- سازمان زمین‌شناسی و اکتشافاتمعدنی کشور، ۱۳۵۷. اکتشافات ژئوشیمیایی و کانی‌سنگین در چهارگوشه ۱: زنجان، شماره ۵۶۶۳، گزارش داخلی.
- سازمان صنعت، معدن و تجارت استان زنجان، ۱۳۸۷. اکتشافات ژئوشیمیایی سیستماتیک در ورقه ۱: زنجان، شماره ۵۶۶۳، گزارش داخلی.
- سازمان صنعت، معدن و تجارت استان زنجان، ۱۳۸۹. پی‌جوابی به روش اکتشافات ژئوشیمیایی ۱/۲۵۰۰ در محدوده کاوند، جنوب غرب زنجان، گزارش داخلی.
- سه‌هابی، ق. و رضائی اقدم، م.، ۱۳۹۴. کانه زایی نوع IOCG در زون متالوژنی استان آباد-میانه (شمال شرق هشت‌تارود). سی و چهارمین گردهمایی و دومین کنگره بین‌المللی تخصصی علوم زمین، سازمان زمین‌شناسی و اکتشافاتمعدنی کشور، تهران.
- مظلومی، ع.ر، کریمپور، م.ح، رسا، ا.، رحیمی، ب. و وثوقی عابدینی، م.، ۱۳۸۷. کانسار طلای کوه‌ز تربیت حیدریه، مدل جدیدی از کانی‌سازی طلا، مجله انجمن بلورشناسی و کانی‌شناسی ایران، ۳، ۳۶۳-۳۷۶.
- Asadi, H.H., 2000. The Zarshuran gold deposit model, applied in mineral exploration GIS in Iran, Ph.D. thesis, ITC, Netherland, Dissertation, 78, ISBN 90-6164-1853.
- Bodnar, R., 1983. A method of calculating fluid inclusion volumes based on vapor bubble diameters and P-V-T-X properties of inclusion fluid, Economic Geology, 78, 535-542.
- Boni, M., Gilg, H.A., Balassone, G., Sch-

- genesis of the high sulfidation Au (-Cu) deposit of Touzlar, NW Iran, *Ore Geology Reviews*, 65, 460-486.
- Higgins, M., 2012. Placer gold provenance in the Black Hills Creek west-central Yukon: Insight from grain morphology and geochemistry, BSc Thesis, Honours Department of Earth Sciences, Dalhousie University, Halifax, Nova Scotia, 95.
 - Hofstra, A.H., 2002. Diverse origins of sedimentary rock-hosted disseminated gold deposits worldwide, Overview, *GSA Annual Meeting, Abstr with Prog, Session 63-1*.
 - Hunt, J.A., Baker, T. and Thorkelson D.J., 2007, A review of iron oxide copper-gold deposits, with focus on the Wernecke breccias, Yukon, Canada, as an Example of a non-magmatic end member and implications for IOCG genesis and classification. *Exploration and Mining Geology*, 16 (3-4), 209-232.
 - Irvine, T.N. and Baragar W.R.A., 1971. A guide to the chemical classification of the common volcanic rocks, *Canadian Journal of Earth Sciences*, 8, 523-548.
 - Karimi, M., 1993. Petrographic-mineralogical studies and the genesis of the Au-As ore at Zarshouran (Takab), M.Sc. thesis, University of Tarbiat Moallem, Tehran, 264.
 - Kovalenko, V.I., Naumov, V.B., Girmis, A.V., Dorofeeva, V.A. and Yarmolyuk V.V., 2010. Average composition of basic magmas and mantle sources of island arcs and active continental margins estimated from the data on melt inclusions and quenched glasses of rocks, *Petrology*, 18, 1-26.
 - Kirschbaum, M.J. and Hitzman M.W., 2016. Guelb Moghrein: an unusual carbonate-hosted iron oxide-copper-gold deposit in Mauritania, Northwest Africa. *Economic Geology*, 111, 3, 763-770.
 - Land, L., 1985. The origin of massive dolomite: summary and suggestion. *Journal of Geological Education*, 33, 112-125.
 - Maniar, P.D. and Piccoli P.M., 1989. Tectonic discrimination of granitoids, *Geological Society of America Bulletin*, 101, 635-643.
 - Mehrabi, B., Yardley, B.W.D. and Cann J.R., 1999. Sediment-hosted disseminated gold mineralization at Zarshura, NW Iran, *Mineralium Deposita*, 34, 673-696.
 - Mehrabi, B., Yardley, B.W.D. and Komminue A., 2003. Modelling the As-Au association in hydrothermal gold mineralization: Example of Zarshuran deposit, NW Iran, *Journal of Sciences, Islamic Republic of Iran*, 14, 37-52.
 - Nabatian, G., Rastad, E., Neubauer, F., Honarmand, M. and Ghaderi M., 2015. Iron and Fe-Mn mineralisation in Iran: implications for Tethyan metallogeny. *Australian Journal of Earth Sciences*, 62, 211-241.
 - Palacios, C. and Herail G., 2001. The composition of gold in the Cerro Casale gold-rich porphyry deposit, Maricunga belt, northern Chile, *Canadian Mineralogist*, 39, 907-915.
 - Rao, C.P., 1996. Modern Carbonates, Tropical, Temperate, Polar: introduction to sedimentology and geochemistry, *Arts of Tasmania*, 206.
 - Robert, F., Poulsen, K.H. and Dube B., 2015. Gold deposits and their geological classification, *Exploration Geochemistry*, 29, 209-219.
 - Rollinson, H.R., 1993. Using geochemical data: evaluation, presentation, interpretation, England, Longman Scientific and Technical, 351.

- Sass, E. and Bein A., 1988. Dolomites and salinity: a comparative geochemical study. In: Shukla, V., and Baker, P.A. (eds): Sedimentology and Geochemistry of Dolostones. Society for Sedimentary Geology, 43, 223-233.
- Shepherd, T.J., Rankin, A.H. and Alderton D.H.M., 1985. A Practical Guide to Fluid Inclusion Studies, Blackie, Glasgow, Chapman, New York, 239.
- Shukla, v. and Baker P.A., 1988. Sedimentology and geochemistry of dolostones, Society of Economic Paleontologist and Mineralogists, Special Publication, 43, 266.
- Stöcklin, J., 1968. Structural history and tectonics of Iran: A review, The American Association of Petroleum Geologists Bulletin, 52, 1229-1258.
- Stöcklin, J. and Eftekharnezhad J., 1969. Geological mapping of Zanjan quadrangle, Number D4, Series 1:250, 000, Geological Survey of Iran (GSI), Tehran.
- Sun, S.S. and McDonough W.F., 1989. Chemical and isotopic systematics of oceanic basalts: Implications for mantle composition and processes, in Saunders, A.D., and Norry, M.J., eds., Magmatism in the oceanic basins, Geologi-
- cal Society of London Special Publication, 42, 313-345.
- Townley, B.K., Herail, G., Maksaev, V., Palacios, C., Parseval, P., Sepuldeva, F., Orellana, R., Rivas, P. and Ulloa C., 2003. Gold grain morphology and composition as an exploration tool: Application to gold exploration in covered areas, Geochemistry, Exploration, Environment, Analysis, 3, 29-38.
- Vahrenkamp, V.C. and Swart P.K., 1990. New distribution coefficient for incorporation of strontium into dolomite and its implications for the formation of ancient dolomites. Geology, 18, 387-391.
- Veizer, J., 1978. Secular variations in the composition of sedimentary carbonate rocks, II. Fe, Mn, Ca, Mg, Sr and minor constituents. Precambrian Research, 6, 381-413.
- Whitney, D.L. and Evans B.W., 2010. Abbreviations for names of rock-forming minerals, American Mineralogist, 95, 185-187.
- Wilkinson, J., 2001. Fluid inclusions in hydrothermal ore deposits, Lithos, 55, 229-272.
- Wilson, M., 1989. Igneous Petrogenesis a Global Tectonic Approach, Department of Earth Science, University of Leeds, 466.